

This Page Is Inserted by IFW Operations  
and is not a part of the Official Record

## **BEST AVAILABLE IMAGES**

Defective images within this document are accurate representation of the original documents submitted by the applicant.

Defects in the images may include (but are not limited to):

- BLACK BORDERS
- TEXT CUT OFF AT TOP, BOTTOM OR SIDES
- FADED TEXT
- ILLEGIBLE TEXT
- SKEWED/SLANTED IMAGES
- COLORED PHOTOS
- BLACK OR VERY BLACK AND WHITE DARK PHOTOS
- GRAY SCALE DOCUMENTS

## **IMAGES ARE BEST AVAILABLE COPY**

**As rescanning documents *will not* correct  
images, please do not report the images to the  
Image Problem Mailbox.**

## PATENT ABSTRACTS OF JAPAN

(11) Publication number : 10-149571  
 (43) Date of publication of application : 02.06.1998

(51) Int.CI.

G11B 7/135  
G11B 7/20

(21) Application number : 08-309647

(71) Applicant : SANYO ELECTRIC CO LTD

(22) Date of filing : 20.11.1996

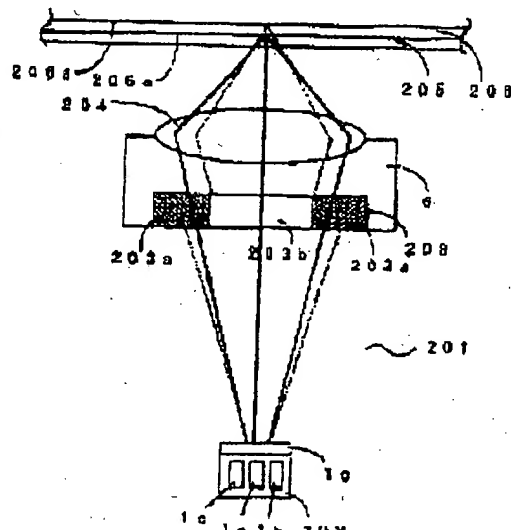
(72) Inventor : KAJIYAMA SEIJI  
KANO YASUYUKI  
YAMADA MASATO  
TSUCHIYA YOICHI  
ICHIURA SHUICHI

## (54) OPTICAL PICKUP DEVICE

## (57) Abstract:

**PROBLEM TO BE SOLVED:** To make it possible to interchangeably reproduce optical disks different in the thickness of a substrate by selectively generating a first laser beam having a first wavelength and a second laser beam having a second wavelength different from the first wavelength.

**SOLUTION:** A laser beam transmitted from semiconductor lasers 1a, 1b in an optical means 202 having a wavelength 480 (allowable range: 350-550)nm or a wavelength 635 (allowable range  $\pm 15$ )nm is selectively diffracted by a hologram 1g provided on the surface of the optical means 202, selectively shielded by an numerical aperture changing means 203 and made incident on an objective lens 204. The laser beam converted by the objective lens 204 passes through a substrate 205 made of transparent polycarbonate and projected on the signal recording surface 205a of an optical disk. The laser beam reflected by the signal recording surface 205a returns through the substrate 205, the objective lens 204 and the numerical aperture changing means 203 and is detected by a photodetector 1c provided in the optical means 202 through the hologram 1g.



## LEGAL STATUS

[Date of request for examination] 25.08.1997

[Date of sending the examiner's decision of rejection] 05.09.2000

[Kind of final disposal of application other than the examiner's decision of rejection or application converted registration]

[Date of final disposal for application]

[Patent number] 3291444

[Date of registration] 22.03.2002  
[Number of appeal against examiner's decision of rejection] 2000-15971  
[Date of requesting appeal against examiner's decision of rejection] 05.10.2000  
[Date of extinction of right]

Copyright (C) 1998,2003 Japan Patent Office

(19) 日本国特許庁 (JP)

## (12) 公開特許公報 (A)

(11) 特許出願公開番号

特開平10-149571

(43) 公開日 平成10年(1998)6月2日

(51) Int.Cl.  
G 11 B 7/135  
7/20

識別記号

F I  
G 11 B 7/135  
7/20

Z

審査請求 有 請求項の数26 OL (全23頁)

(21) 出願番号 特願平8-309647

(22) 出願日 平成8年(1996)11月20日

(71) 出願人 000001889

三洋電機株式会社

大阪府守口市京阪本通2丁目5番5号

(72) 発明者 梶山 清治

大阪府守口市京阪本通2丁目5番5号 三  
洋電機株式会社内

(72) 発明者 加納 康行

大阪府守口市京阪本通2丁目5番5号 三  
洋電機株式会社内

(72) 発明者 山田 真人

大阪府守口市京阪本通2丁目5番5号 三  
洋電機株式会社内

(74) 代理人 弁理士 安富 耕二 (外1名)

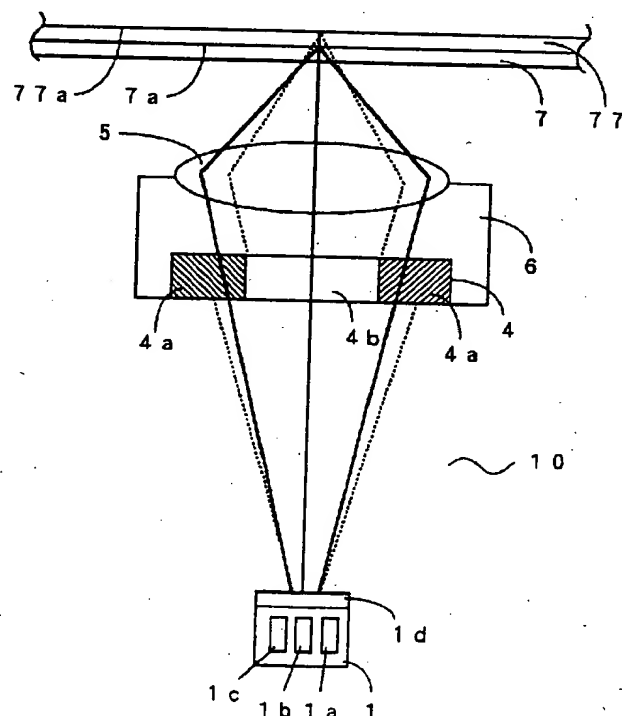
最終頁に続く

## (54) 【発明の名称】 光ピックアップ装置

## (57) 【要約】

【課題】 波長635nmのレーザビームを用いて薄型の光ディスクであるDVDと標準厚で追記型の光ディスクであるCD-Rとの互換再生をすることができない。

【解決手段】 記録または／および再生が行われるべき光ディスクに対向して設けられた対物レンズと、記録または／および再生が行われるべき光ディスクの透明基板の厚さに応じて対物レンズの開口数を変更する開口数変更手段と、第1の波長を持つ第1のレーザ光と、第1の波長と異なる第2の波長を持つ第2のレーザ光とを選択的に生成し、その生成された第1のレーザ光を第1の方向に回折させ、第2のレーザ光を第1の方向と異なる第2の方向に回折させ、その回折させたレーザ光を対物レンズに導き、第1のレーザ光、および第2のレーザ光の光ディスクの信号記録面からの反射光を検出する光学手段とから光ピックアップを構成する。



## 【特許請求の範囲】

【請求項 1】 第1の厚さの透明基板を有する第1の光ディスク、および前記第1の厚さと異なる第2の厚さの透明基板を有する第2の光ディスクの記録または／および再生を行う光ピックアップ装置であって、前記記録または／および再生が行われるべき光ディスクに対向して設けられた対物レンズと、前記記録または／および再生が行われるべき光ディスクの透明基板の厚さに応じて前記対物レンズの開口数を変更する開口数変更手段と、第1の波長を持つ第1のレーザ光と、前記第1の波長と異なる第2の波長を持つ第2のレーザ光とを選択的に生成し、その生成された前記第1のレーザ光を第1の方向に回折させ、前記第2のレーザ光を前記第1の方向と異なる第2の方向に回折させ、該回折させたレーザ光を前記対物レンズに導き、前記第1のレーザ光、および前記第2のレーザ光の前記光ディスクの信号記録面からの反射光を検出する光学手段とを含む光ピックアップ装置。

【請求項 2】 第1の厚さの透明基板を有する第1の光ディスク、および前記第1の厚さと異なる第2の厚さの透明基板を有する第2の光ディスクの記録または／および再生を行う光ピックアップ装置であって、前記記録または／および再生が行われるべき光ディスクに対向して設けられた対物レンズと、前記記録または／および再生が行われるべき光ディスクの透明基板の厚さに応じて前記対物レンズの開口数を変更する開口数変更手段と、第1の波長を持つ第1のレーザ光と、前記第1の波長と異なる第2の波長を持つ第2のレーザ光とを選択的に生成し、前記第1のレーザ光、および前記第2のレーザ光の前記光ディスクの信号記録面からの反射光を検出する光学手段と、前記光学手段からの前記第1のレーザ光を第1の方向に回折させ、前記第2のレーザ光を前記第1の方向と異なる第2の方向に回折させ、その回折させたレーザ光を前記対物レンズに導くとともに、前記第1のレーザ光、および前記第2のレーザ光の前記光ディスクの信号記録面からの反射光を前記光学手段に導くホログラムとを含む光ピックアップ装置。

【請求項 3】 第1の厚さの透明基板を有する第1の光ディスク、および前記第1の厚さと異なる第2の厚さの透明基板を有する第2の光ディスクの記録または／および再生を行う光ピックアップ装置であって、前記記録または／および再生が行われるべき光ディスクに対向して設けられた対物レンズと、前記記録または／および再生が行われるべき光ディスクの透明基板の厚さに応じて前記対物レンズの開口数を変更する開口数変更手段と、第1の波長を持つ第1のレーザ光と、前記第1の波長と

異なる第2の波長を持つ第2のレーザ光とを選択的に生成し、その生成された前記第1のレーザ光を第1の方向に回折させ、前記第2のレーザ光を前記第1の方向と異なる第2の方向に回折させるとともに、

前記第1のレーザ光、および前記第2のレーザ光の前記光ディスクの信号記録面からの反射光を検出する光学手段と、

前記光学手段からの第1のレーザ光、および前記第2のレーザ光を受け、その受けたレーザ光を前記対物レンズに導くコリメータレンズとを含む光ピックアップ装置。

【請求項 4】 第1の厚さの透明基板を有する第1の光ディスク、および前記第1の厚さと異なる第2の厚さの透明基板を有する第2の光ディスクの記録または／および再生を行う光ピックアップ装置であって、

前記記録または／および再生が行われるべき光ディスクに対向して設けられた対物レンズと、前記記録または／および再生が行われるべき光ディスクの透明基板の厚さに応じて前記対物レンズの開口数を変更する開口数変更手段と、

第1の波長を持つ第1のレーザ光と、前記第1の波長と異なる第2の波長を持つ第2のレーザ光とを選択的に生成し、前記第1のレーザ光、および前記第2のレーザ光の前記光ディスクの信号記録面からの反射光を検出する光学手段と、

前記レーザ光生成手段から前記第1のレーザ光、および前記第2のレーザ光を受け、その受けた光を前記対物レンズに導くコリメータレンズと、

前記コリメータレンズの直前または直後に設けられ、前記第1のレーザ光を第1の方向に回折させ、前記第2のレーザ光を前記第1の方向と異なる第2の方向に回折させるとともに、

前記第1のレーザ光、および前記第2のレーザ光の前記光ディスクの信号記録面からの反射光を前記光学手段に導くホログラムとを含む光ピックアップ装置。

【請求項 5】 請求項 4において、前記ホログラムは、前記コリメータレンズと一体的に設けられている光ピックアップ装置。

【請求項 6】 請求項 1 または 3において、前記光学手段は、前記第1のレーザ光を生成する第1の半導体レーザと、前記第2のレーザ光を生成する第2の半導体レーザと、前記第1のレーザ光、および前記第2のレーザ光の前記光ディスクの信号記録面からの反射光を検出する光検出手段と、

前記第1の半導体レーザにより生成された前記第1のレーザ光を第1の方向に回折させ、前記第2の半導体レーザにより生成された前記第2のレーザ光を前記第1の方向と異なる第2の方向に回折させるとともに、

前記第1のレーザ光、および前記第2のレーザ光の前記

光ディスクの信号記録面からの反射光を前記光検出手段に導くホログラムとを含む光ピックアップ装置。

【請求項7】 請求項2または4または5において、前記光学手段は、

前記第1のレーザ光を生成する第1の半導体レーザと、前記第2のレーザ光を生成する第2の半導体レーザと、前記第1のレーザ光、および前記第2のレーザ光の前記光ディスクの信号記録面からの反射光を検出する光検出手段とを含む光ピックアップ装置。

【請求項8】 請求項6または7において、

前記第1の半導体レーザと前記第2の半導体レーザは、前記第1のレーザ光、および前記第2のレーザ光の前記信号記録面からの反射光が前記光検出手段の同じ位置で検出されるように配置されている光ピックアップ装置。

【請求項9】 請求項8において、

前記第2の半導体レーザは、前記第1の半導体レーザに對して前記光ディスクの外径方向に配置されている光ピックアップ装置。

【請求項10】 請求項8において、

前記第1の半導体レーザと前記第2の半導体レーザとは、前記光ディスクの円周方向に配置されている光ピックアップ装置。

【請求項11】 請求項8から10において、

前記第1の半導体レーザと前記第2の半導体レーザとの距離を $Z_0$ 、前記第1の半導体レーザと前記光検出手段との距離を $Z_1$ 、前記第2の半導体レーザと前記光検出手段との距離を $Z_2$ 、前記第1の半導体レーザと前記ホログラムとの距離を $L$ 、前記ホログラムのピッチを $p$ 、前記第1のレーザ光の波長を $\lambda_1$ 、前記第2のレーザ光の波長を $\lambda_2$ とした場合に、

$$Z_0 = L \lambda_1 / (p^2 - \lambda_1^2)^{1/2}, Z_1 = L \lambda_1 / (p^2 - \lambda_1^2)^{1/2}$$

$Z_0 = Z_1 - Z_2$ なる関係を有する光ピックアップ装置。

【請求項12】 請求項11において、

前記第1のレーザ光の波長 $\lambda_1$ は、620～660 nmの範囲であり、

前記第2のレーザ光の波長 $\lambda_2$ は、760～800 nmの範囲である光ピックアップ装置。

【請求項13】 請求項11において、

前記第1のレーザ光の波長 $\lambda_1$ は、350～550 nmの範囲であり、

前記第2のレーザ光の波長 $\lambda_2$ は、620～660 nmの範囲である光ピックアップ装置。

【請求項14】 請求項11において、

前記第1のレーザ光の波長 $\lambda_1$ は、350～550 nmの範囲であり、

前記第2のレーザ光の波長 $\lambda_2$ は、760～800 nmの範囲である光ピックアップ装置。

【請求項15】 請求項12において、

前記第1の半導体レーザと前記第2の半導体レーザとの

距離 $Z_0$ は、0.1～0.5 mmの範囲である光ピックアップ装置。

【請求項16】 請求項12において、

前記第1の半導体レーザと前記第2の半導体レーザとの距離 $Z_0$ は、0.1～0.5 mmの範囲であり、

前記第1の半導体レーザと前記光検出手段との距離 $Z_1$ は、0.50～2.2 mmの範囲である光ピックアップ装置。

【請求項17】 請求項12において、

前記第1の半導体レーザと前記第2の半導体レーザとの距離 $Z_0$ は、0.1～0.5 mmの範囲であり、

前記第1の半導体レーザと前記光検出手段との距離 $Z_1$ は、0.50～2.2 mmの範囲であり、

前記ホログラムのピッチ $p$ は、1.5～35  $\mu$ mの範囲であり、

前記第1の半導体レーザと前記ホログラムとの距離 $L$ は3～25 mmの範囲である光ピックアップ装置。

【請求項18】 請求項15から17において、

前記第1の光ディスクの厚さは、0.55～0.65 mmの範囲であり、

前記第2の光ディスクの厚さは、1.1～1.3 mmの範囲である光ピックアップ装置。

【請求項19】 請求項13において、

前記第1の半導体レーザと前記第2の半導体レーザとの距離 $Z_0$ は、0.1～0.5 mmの範囲である光ピックアップ装置。

【請求項20】 請求項13において、

前記第1の半導体レーザと前記第2の半導体レーザとの距離 $Z_0$ は、0.1～0.5 mmの範囲であり、

前記第1の半導体レーザと前記光検出手段との距離 $Z_1$ は、0.3～1.5 mmの範囲である光ピックアップ装置。

【請求項21】 請求項13において、

前記第1の半導体レーザと前記第2の半導体レーザとの距離 $Z_0$ は、0.1～0.5 mmの範囲であり、

前記第1の半導体レーザと前記光検出手段との距離 $Z_1$ は、0.3～1.5 mmの範囲であり、

前記ホログラムのピッチ $p$ は、3～12  $\mu$ mの範囲であり、

前記第1の半導体レーザと前記ホログラムとの距離 $L$ は3～15 mmの範囲である光ピックアップ装置。

【請求項22】 請求項19から21において、

前記第1の光ディスクの厚さは、0.25～0.35 mmの範囲であり、

前記第2の光ディスクの厚さは、0.55～0.65 mmの範囲である光ピックアップ装置。

【請求項23】 請求項14において、

前記第1の半導体レーザと前記第2の半導体レーザとの距離 $Z_0$ は、0.1～0.5 mmの範囲である光ピックアップ装置。

【請求項24】 請求項14において、前記第1の半導体レーザと前記第2の半導体レーザとの距離 $Z_1$ は、0.1～0.5mmの範囲であり、前記第1の半導体レーザと前記光検出手段との距離 $Z_2$ は、0.2～1.0mmの範囲である光ピックアップ装置。

【請求項25】 請求項14において、前記第1の半導体レーザと前記第2の半導体レーザとの距離 $Z_1$ は、0.1～0.5mmの範囲であり、前記第1の半導体レーザと前記光検出手段との距離 $Z_2$ は、0.2～1.0mmの範囲であり、前記ホログラムのピッチ $p$ は、5～12μmの範囲であり、前記第1の半導体レーザと前記ホログラムとの距離 $L$ は2～15mmの範囲である光ピックアップ装置。

【請求項26】 請求項23から25において、前記第1の光ディスクの厚さは、0.25～0.35mmの範囲であり、前記第2の光ディスクの厚さは、1.1～1.3mmの範囲である光ピックアップ装置。

【発明の詳細な説明】

【0001】

【発明の属する技術分野】 本発明は、基板厚、記録密度の異なる複数種類の光ディスクの再生装置に関する。

【0002】

【従来の技術】 CD-ROMのように半導体レーザを用いて情報を読み出す約1.2mmの厚さの光ディスクが提供されている。この種の光ディスクではピックアップ用対物レンズにフォーカスサーボ及びトラッキングサーボを行うことにより、信号記録面のピット列にレーザビームを照射させ、信号を再生している。また、最近では長時間の動画を記録するための高密度化が進んでいる。

【0003】 例えば、CD-ROMと同じ直径12cmの光ディスクに、片面で4.7Gbyteの情報を記録するDVD規格が提案されている。DVDのディスク厚は約0.6mmであり、これを両面貼り合わせることにより、1枚で9.4Gbyteの情報を記録できる。また、直径、基板厚、記録密度がCDと同じである追記可能な光ディスクとしてCD-Rもある。

【0004】 今度、これら3種類の光ディスクの併存が考えられるため3種類の光ディスクを互換再生できる装置が必要である。DVDとCD、CD-Rではディスク基板の厚みが異なるため1つの光ピックアップで両者を再生できない。そこで、特開平5-303766号公報には、厚さ0.6mmの薄型基板を有する高密度の光ディスクと、厚さ1.2mmの標準厚の基板を有する標準密度の光ディスクとを、1個の光ピックアップによって再生できるようにする装置が提案されている。

【0005】 この技術は短波長のレーザビームにて高密度のディスクを再生すべく設計された開口数0.6の対

物レンズを用い、標準厚で標準密度の光ディスクを再生する場合に、収差補正手段にレーザビームの外周側を遮光して実効的な開口数を減少させるアーチャを付加したものを対物レンズの光源側に介挿する装置である。また、半導体レーザから出射されるレーザビームの外周部を選択的に遮光してレーザビームを集光する対物レンズの実効的開口数を変更する方法として出願人は、特願平8-84307号においてレーザビームの偏光面を選択的に回転する液晶と特定方向に偏光するレーザビームのみを透過させる偏光フィルタを組み合わせる方法を提案し、この方法を用いて基板厚の異なる光ディスクを互換再生できる技術を開示している。

【0006】

【発明が解決しようとする課題】 特願平8-84307号に開示された方法では、基板厚の異なるDVDとCDとの互換再生は可能であるが、基板厚が1.2mmのCD-Rを波長635nmのレーザビームで再生することができない。また、信号がピット列として記録されるため、ピットの大きさに応じて信号記録面に照射されるビーム径を変える必要もあり、DVDと、DVDのピットより更に小さいピットで記録される高密度DVDとを波長635nmのレーザビームを用いて互換再生することができない。

【0007】 そこで、本発明は、かかる問題点を解決し、基板厚が0.6mmのDVDと基板厚が1.2mmのCD、CD-Rとの互換再生、およびDVDと高密度DVDとの互換再生が可能な光ピックアップ装置を提供するものである。

【0008】

【課題を解決するための手段】 本発明は、第1の厚さの透明基板を有する第1の光ディスク、および第1の厚さと異なる第2の厚さの透明基板を有する第2の光ディスクの記録または／および再生を行う光ピックアップ装置であって、記録または／および再生が行われるべき光ディスクに対向して設けられた対物レンズと、記録または／および再生が行われるべき光ディスクの透明基板の厚さに応じて対物レンズの開口数を変更する開口数変更手段と、第1の波長を持つ第1のレーザ光と、第1の波長と異なる第2の波長を持つ第2のレーザ光とを選択的に生成し、その生成された第1のレーザ光を第1の方向に回折させ、第2のレーザ光を第1の方向と異なる第2の方向に回折させ、回折させたレーザ光を対物レンズに導き、第1のレーザ光、および第2のレーザ光の光ディスクの信号記録面からの反射光を検出する光学手段とを含むことを特徴とする。

【0009】 また、本発明は、第1の厚さの透明基板を有する第1の光ディスク、および第1の厚さと異なる第2の厚さの透明基板を有する第2の光ディスクの記録または／および再生を行う光ピックアップ装置であって、記録または／および再生が行われるべき光ディスクに対

向して設けられた対物レンズと、記録または／および再生が行われるべき光ディスクの透明基板の厚さに応じて対物レンズの開口数を変更する開口数変更手段と、第1の波長を持つ第1のレーザ光と、第1の波長と異なる第2の波長を持つ第2のレーザ光とを選択的に生成し、第1のレーザ光、および第2のレーザ光の前記光ディスクの信号記録面からの反射光を検出する光学手段と、光学手段からの第1のレーザ光を第1の方向に回折させ、第2のレーザ光を第1の方向と異なる第2の方向に回折させ、その回折させたレーザ光を対物レンズに導くとともに、第1のレーザ光、および第2のレーザ光の光ディスクの信号記録面からの反射光を光学手段に導くホログラムとを含むことを特徴とする。。

【0010】また、本発明は、更に、第1の厚さの透明基板を有する第1の光ディスク、および第1の厚さと異なる第2の厚さの透明基板を有する第2の光ディスクの記録または／および再生を行う光ピックアップ装置であって、記録または／および再生が行われるべき光ディスクに対向して設けられた対物レンズと、記録または／および再生が行われるべき光ディスクの透明基板の厚さに応じて対物レンズの開口数を変更する開口数変更手段と、第1の波長を持つ第1のレーザ光と、第1の波長と異なる第2の波長を持つ第2のレーザ光とを選択的に生成し、その生成された第1のレーザ光を第1の方向に回折させ、第2のレーザ光を第1の方向と異なる第2の方向に回折させるとともに、第1のレーザ光、および第2のレーザ光の光ディスクの信号記録面からの反射光を検出する光学手段と、光学手段からの第1のレーザ光、および第2のレーザ光を受け、その受けたレーザ光を対物レンズに導くコリメータレンズとを含むことを特徴とする。

【0011】また、本発明は、更に、第1の厚さの透明基板を有する第1の光ディスク、および第1の厚さと異なる第2の厚さの透明基板を有する第2の光ディスクの記録または／および再生を行う光ピックアップ装置であって、記録または／および再生が行われるべき光ディスクに対向して設けられた対物レンズと、記録または／および再生が行われるべき光ディスクの透明基板の厚さに応じて対物レンズの開口数を変更する開口数変更手段と、第1の波長を持つ第1のレーザ光と、第1の波長と異なる第2の波長を持つ第2のレーザ光とを選択的に生成し、第1のレーザ光、および第2のレーザ光の光ディスクの信号記録面からの反射光を検出する光学手段と、レーザ光生成手段から第1のレーザ光、および第2のレーザ光を受け、その受けた光を対物レンズに導くコリメータレンズと、コリメータレンズの直前または直後に設けられ、第1のレーザ光を第1の方向に回折させ、第2のレーザ光を第1の方向と異なる第2の方向に回折させるとともに、第1のレーザ光、および第2のレーザ光の光ディスクの信号記録面からの反射光を光学手段に導く

ホログラムとを含むことを特徴とする。

【0012】また、本発明は、更に、好ましくは、ホログラムがコリメータレンズと一体的に設けられていることを特徴とする。また、本発明は、更に好ましくは、光学手段が第1のレーザ光を生成する第1の半導体レーザと、第2のレーザ光を生成する第2の半導体レーザと、第1のレーザ光、および第2のレーザ光の光ディスクの信号記録面からの反射光を検出する光検出手段と、第1の半導体レーザにより生成された第1のレーザ光を第1の方向に回折させ、第2の半導体レーザにより生成された第2のレーザ光を第1の方向と異なる第2の方向に回折させるとともに、第1のレーザ光、および第2のレーザ光の光ディスクの信号記録面からの反射光を光検出手段に導くホログラムとを含むことを特徴とする。

【0013】また、本発明は、更に好ましくは、第1の半導体レーザと第2の半導体レーザは、第1のレーザ光、および第2のレーザ光の信号記録面からの反射光が光検出手段の同じ位置で検出されるように配置されていることを特徴とする。また、本発明は、更に好ましくは、第2の半導体レーザは、第1の半導体レーザに対して光ディスクの外径方向に配置されていることを特徴とする。

【0014】また、本発明は、更に好ましくは、第1の半導体レーザと第2の半導体レーザとは、光ディスクの円周方向に配置されていることを特徴とする。また、本発明は、更に好ましくは、第1の半導体レーザと第2の半導体レーザとの距離を $Z_1$ 、第1の半導体レーザと光検出手段との距離を $Z_2$ 、第2の半導体レーザと光検出手段との距離を $Z_3$ 、第1の半導体レーザとホログラムとの距離を $L$ 、ホログラムのピッチを $p$ 、第1のレーザ光の波長を $\lambda_1$ 、第2のレーザ光の波長を $\lambda_2$ とした場合に、 $Z_1 = L \lambda_1 / (p^2 - \lambda_1^2)^{1/2}$ 、 $Z_2 = L \lambda_2 / (p^2 - \lambda_2^2)^{1/2}$ 、 $Z_3 = Z_2 - Z_1$ なる関係を有することを特徴とする。

【0015】

【発明の実施の形態】

第1の実施の形態

図を参照しつつ、本発明の第1の実施の形態を説明する。図18に本発明が互換再生の対象とするCD、CD-R及びDVDの定格値と再生条件を示す。CDの基板厚は1.2(許容誤差±0.1)mm、最短ピット長が0.83(許容範囲:0.80~0.90)μm、トラックピッチが1.6(許容誤差±0.1)μmであり、反射率は波長780nmのレーザビームに対して60~70%以上である。また、再生時のレーザビームのスポット径は1.5(許容誤差±0.1)μm、対物レンズの開口数は0.45(許容誤差±0.05)、再生レーザビーム波長が780(許容範囲:760~800)nmである。CD-Rの基板厚は1.2(許容誤差±0.1)mm、最短ピット長が0.83(許容範囲:0.80~0.

90)  $\mu\text{m}$ 、トラックピッチが 1.6 (許容誤差  $0.1 \mu\text{m}$ 、波長  $780\text{ nm}$  のレーザビームに対する反射率が  $60\sim70\%$  以上であり、再生時のレーザビームのスポット径が  $1.5$  (許容誤差  $0.1 \mu\text{m}$  )、対物レンズの開口数が  $0.45$  (許容誤差  $0.05$  )、再生レーザビーム波長が  $780$  (許容範囲:  $760\sim800$ )  $\text{nm}$  である。一方、DVDの基板厚は  $0.6$  (許容誤差  $0.05$  )  $\text{mm}$  、最短ピット長が  $0.40$  (許容誤差  $0.1 \mu\text{m}$  )、トラックピッチが  $0.74$  (許容誤差  $0.01 \mu\text{m}$  )、波長  $635\text{ nm}$  のレーザビームに対する反射率が  $40\%$  以上 (单一の信号記録面の場合) 若しくは  $15\sim40\%$  (信号記録面が 2 つの場合) であり、再生時のレーザビームのスポット径が  $0.9$  (許容誤差  $0.5 \mu\text{m}$  )、対物レンズの開口数が  $0.6$  (許容誤差  $0.05$  )、再生レーザビーム波長が  $635$  (許容範囲:  $620\sim660$ )  $\text{nm}$  である。

【0016】CD、CD-RとDVDとの互換再生を行う光ピックアップ 1 の構成を図 1 に示す。光学手段 1 中の半導体レーザ 1 a、1 b から発せられた波長  $635$  (許容範囲:  $620\sim660$ )  $\text{nm}$  若しくは波長  $780$  (許容範囲:  $760\sim800$ )  $\text{nm}$  のレーザビームは光学手段 1 の表面に設けられたホログラム 1 d で選択的に回折され、開口数変更手段 4 で選択的に遮光されて対物レンズ 5 に入射する。該対物レンズ 5 で集光されたレーザビームは、透光性のポリカーボネートの基板 7 (または 77) を通って光ディスクの信号記録面 7 a (または 77 a) に照射される。該信号記録面 7 a (または 77 a) で反射されたレーザビームは前記基板 7 (または 77) 、前記対物レンズ 5 、前記開口数変更手段 4 を介して戻り、前記ホログラム 1 d を介して前記光学手段 1 中に設置された光検出器 1 c で検知される。前記対物レンズ 5 は基板厚  $0.6\text{ mm}$  の光ディスク用に設計されており、開口数は  $0.6$  (許容誤差  $0.05$  ) である。

【0017】本発明においては、前記光学手段 1 は波長  $780\text{ nm}$  のレーザビームを発する半導体レーザ 1 a、波長  $635\text{ nm}$  のレーザビームを発する半導体レーザ 1 b、光検出器 1 c 及び波長  $635\text{ nm}$  のレーザビームは回折せず、波長  $780\text{ nm}$  のレーザビームのみを回折するホログラム 1 d を配しており、CD、CD-R が再生される場合には前記半導体レーザ 1 a が選択駆動され、DVD が再生される場合には前記半導体レーザ 1 b が選択駆動される。即ち、光学手段 1 は、波長  $635\text{ nm}$  のレーザビームと波長  $780\text{ nm}$  のレーザビームとを選択駆動し、波長  $780\text{ nm}$  のレーザビームのみを回折して前記対物レンズ 4 に入射させるとともに、波長  $635\text{ nm}$  のレーザビーム、および波長  $780\text{ nm}$  のレーザビームの光ディスクの信号記録面での反射光を前記光検出器 1 c に集光する機能を有するものである。

【0018】また、前記開口数変更手段 4 は外周部 4 a と内周部 4 b とに分割されており、内周部 4 b は波長  $6$

$35\text{ nm}$  のレーザビーム、および波長  $780\text{ nm}$  のレーザビームをそのまま透過するが、外周部 4 a は波長  $780\text{ nm}$  のレーザビームのみを遮光する機能を有するものである。内周部 4 b の直径は波長  $780\text{ nm}$  のレーザビームの前記対物レンズ 5 での実効的開口数が  $0.45$  (許容誤差  $0.05$  ) となる直径である。また、前記開口数変更手段 4 と前記対物レンズ 5 とはアクチュエータ 6 に固定されているため、開口数変更手段 4 はフォーカス引き込み時、トラッキングサーボ時に前記対物レンズ 5 に連動して移動する。この結果、開口数変更手段 4 と対物レンズ 5 との位置ずれはなく、波長  $780\text{ nm}$  のレーザビームの外周部を確実に遮光できる。

【0019】また、前記光学手段 1 中には、前記半導体レーザ 1 a、1 b と前記光検出器 1 c とが設けられているが、これらの位置関係について説明する。本発明で用いるホログラムは半導体レーザから発せられたレーザビームの波長の違いにより選択的にレーザビームを回折し、前記対物レンズ 5 に入射させ、前記信号記録面 7 a (または 77 a) からの反射光を、レーザビームを発した半導体レーザの方向とは異なる方向に集光させる機能を有するものである。図 2 を参照して、レーザビームを発する半導体レーザ SL と反射光を検出する光検出器 D との位置関係の決定方法について説明する。半導体レーザ SL と光検出器 D とは同一平面上に設置されており、半導体レーザ SL とホログラム H との距離を L 、ホログラム H に設けられた微少な凹凸構造のピッチを p 、反射光がホログラム H により変更された進行方向と法線方向との成す角を  $\theta$  、レーザビームの波長を  $\lambda$  、半導体レーザ SL と光検出器 D との距離を Z とする。

【0020】この場合、  
 $\sin \theta = \lambda / p \dots \dots \dots \quad (1)$   
 $Z = L \tan \theta \dots \dots \dots \quad (2)$   
 が成立する。また、上記、式 (1)、(2) より  
 $Z = L \lambda / (p^2 - \lambda^2)^{1/2} \dots \dots \quad (3)$   
 が成立する。従って、レーザビームの波長が長い程、反射光がホログラム H により進行方向を変えられる角度  $\theta$  は大きくなる。その結果、半導体レーザ SL と光検出器 D との距離 Z は大きくなる。これは、波長の異なるレーザビームを発する半導体レーザを同一の位置に設置したならば、反射光を検出する位置が異なることを意味する。即ち、波長  $635\text{ nm}$  のレーザビームの反射光が光検出器 D で検出されるならば、波長  $780\text{ nm}$  のレーザビームの反射光は光検出器 D より半導体レーザ SL とは反対方向にずれた位置で検出できることになる。そこで、本発明においては、レーザビームの波長の相違に起因して発生する反射光の検出位置のずれを半導体レーザの設置位置を相違させることにより吸収し、波長が異なってもレーザビームの反射光を同じ位置で検出できるよう に 2 つの半導体レーザと光検出器とを設置したことを 1 つの特徴としている。また、半導体レーザ SL と光検

出器Dとの距離Zは半導体レーザSLとホログラムHとの距離Lによっても変化するので、図3を参照して、本発明における前記ホログラム1d、前記半導体レーザ1a、1b及び前記光検出器1cの詳細な位置関係について説明する。波長635nmのレーザビームを発する半導体レーザ1bと光検出器1cとの距離をZ<sub>1</sub>、波長780nmのレーザビームを発する半導体レーザ1aと光検出器1cとの距離をZ<sub>2</sub>としてZ<sub>1</sub>、Z<sub>2</sub>となるように半導体レーザ1a、1b、光検出器1cを設置する。ホログラム1dの凹凸構造のピッチpと、半導体レーザ1a、1b、光検出器1cとホログラム1dとの距離、即ち、レーザビームの発光点とホログラムとの距離LとをパラメータとしてZ<sub>1</sub>、Z<sub>2</sub>、Z<sub>1</sub>、Z<sub>2</sub>を計算した結果を図4に示す。ホログラムのピッチpが1.5～35μmの範囲、レーザビームの発光点とホログラム間の距離Lが3～25mmの範囲でZ<sub>1</sub>～Z<sub>2</sub>が0.1～0.5mmの範囲となる。また、前記半導体レーザ1bと前記光検出器1cとの距離は0.5～2.2mmの範囲となる。従って、本発明においては、半導体レーザ1aと半導体レーザ1bとの距離を0.1～0.5mmの範囲に設定して設置し、波長635nmのレーザビームと波長780nmのレーザビームの光ディスクの信号記録面からの反射光を前記光検出器1cの同一位置で検出する。この場合、半導体レーザ1bを中心にして半導体レーザ1aが光ディスクの外周方向に位置するように、光検出器1cが光ディスクの内周方向に位置するように配置されている。

【0021】また、半導体レーザ1aと半導体レーザ1bとは0.1～0.5mmの範囲で設置位置が異なるが、この範囲のずれは光ディスクに照射されるレーザビームの光軸のずれによる再生特性の劣化として現れることはない。また、更に、前記半導体レーザ1aと前記半導体レーザ1bとの設置位置の方向は光ディスクの径方向に限らず、周方向であってもよい。

【0022】図5を参照して、前記半導体レーザ1a、1bと前記光検出器1cのマウントについて説明する。図5は前記開口数変更手段4側から見た図を示している。光学手段1には3つの切り込みk<sub>1</sub>、k<sub>2</sub>、k<sub>3</sub>があり半導体レーザ1a、1bのそれぞれの発光点A、Bが切り込みk<sub>2</sub>～k<sub>3</sub>を結ぶ線上に横方向に並ぶようにマウントされている。2つの半導体レーザ1a、1bがマウントされた光学手段1は切り込みk<sub>2</sub>～k<sub>3</sub>方向が光ディスクの径方向、即ち、トラッキング方向と一致するように設置されている。また、半導体レーザ1a、1bは独立に作成し、素子を1つの基板上にマウントしても良く、1つの基板上で結晶成長を行い、2つの素子を作成しても良い。

【0023】図6を参照して、前記開口数変更手段4の具体例について説明する。図6に示す開口数変更手段4は外周部44aは波長635nmのレーザビームを、

そのまま、全面的に透過し、波長780nmのレーザビームのみを光軸の外側に回折し、前記対物レンズ5に入射させない機能を有し、内周部44bは波長635nmのレーザビーム、および波長780nmのレーザビームをそのまま透過させる。図6(a)を参照して、波長635nmのレーザビーム50は開口数変更手段44により何ら影響を受けず、そのまま透過する。一方、図6(b)を参照して、波長780nmのレーザビーム51は開口数変更手段44においては、内周部44bに入射するレーザビームはそのまま透過するが、外周部44aに入射するレーザビームは光軸の外側に大きく回折を受ける。その結果、実質的に内周部のみが透過したレーザビーム52となる。

【0024】また、図7を参照して、前記開口数変更手段4の他の具体例について説明する。図7に示す開口数変更手段45は外周部45aに紙面に垂直な方向に偏光するレーザビームのみを透過する偏光フィルムを設け、内周部45bには何も設けないものである。その結果、紙面に垂直な方向に偏光する波長635nmのレーザビームは全面的に開口数変更手段45を透過するが、紙面に平行な方向に偏光する波長780nmのレーザビームは外周部のみが開口数変更手段45により遮光され、内周部のみが透過する。

【0025】また、図8を参照して、前記開口数変更手段4の更に他の具体例を説明する。図8に示す開口数変更手段46は外周部46aに波長780nmのレーザビームのみを吸収する偏光ガラスを設け、内周部46bは偏光ガラスを設けない通常のガラスである。その結果、波長635nmのレーザビームは全面的に開口数変更手段46を透過するが、波長780nmのレーザビームは外周部のみが開口数変更手段46により遮光され、内周部のみが透過する。

【0026】図9を参照して、基板厚0.6mmの光ディスクであるDVDの再生動作について説明する。DVDが再生される場合には、後述する光再生装置中のレーザ駆動回路18により光学手段1中の波長635nmのレーザビームを発する半導体レーザ1aが選択駆動される。その結果、波長635nmのレーザビームは前記ホログラム1d、前記開口数変更手段4をそのまま透過し、対物レンズ5で集光されて光ディスクの基板7を通して信号記録面7aに照射される。信号記録面7aに照射されるレーザビームのスポット径は0.9(許容誤差±0.1)μmである。その後の動作については図1の説明と同じであるので省略する。

【0027】図10を参照して、基板厚1.2mmの光ディスクであるCD、CD-Rの再生動作について説明する。CD、CD-Rが再生される場合には、前記レーザ駆動回路18により光学手段1中の波長780nmのレーザビームを発する半導体レーザ1bが選択駆動される。その結果、波長780nmのレーザビームは前記ホ

ログラム 1 d で回折を受け、前記開口数変更手段 4 で外周部のみが遮光され、内周部が前記対物レンズ 5 に入射する。対物レンズ 5 に入射したレーザビームは集光されて光ディスクの基板 7 7 を通って信号記録面 7 7 a に照射される。信号記録面 7 7 a に照射されるレーザビームのスポット径は 1.5 (許容誤差 ±0.1)  $\mu\text{m}$  である。その後の動作については図 1 の説明と同じであるので省略する。

【0028】尚、この場合、前記開口数変更手段 4 により外周部を遮光されたレーザビームの内周部は、前記ホログラム 1 d による回折の効果により遮光後も外側に回折されて前記対物レンズ 5 に入射し、対物レンズ 5 により集光される結果、基板厚 1.2 mm の光ディスクでの収差の発生は抑えられる。また、本発明における光ピックアップは図 1 に示すものに限らず図 11 に示すものであってもよい。即ち、図 1 に示す構成では半導体レーザ 1 a、1 b、光検出器 1 c 及びホログラム 1 d は 1 つの光学手段 1 中に配置されていたが、これに限らず、図 1 1 に示すようにホログラム 2 が光学手段 1 と分離した構成の光ピックアップ 2 0 であってもよい。この場合、光学手段 1 中の半導体レーザ 1 a、1 b とホログラム 2 との距離、半導体レーザ 1 a と半導体レーザ 1 b との距離、半導体レーザ 1 b と光検出器 1 c との距離、ホログラム 2 のピッチは図 4 に示したものと同じである。また、光学手段 1 とホログラム 2 以外の構成要素は図 1 と同じであるので、その機能の説明についても省略する。

【0029】また、本発明における光ピックアップは、更に、図 1 2 に示す構成のものであってもよい。図 1 2 に示す光ピックアップ 4 0 は図 1 に示す光ピックアップ 1 0 の前記光学手段 1 と前記開口数変更手段 4 との間にコリメータレンズ 3 を挿入した構成である。光学手段 1 中の半導体レーザ 1 a、1 b とホログラム 1 d との距離、半導体レーザ 1 a と半導体レーザ 1 b との距離、半導体レーザ 1 b と光検出器 1 c との距離、ホログラム 1 d のピッチは図 4 に示したものと同じである。それ以外は光ピックアップ 1 0 と同じであるので、その他の説明については省略する。

【0030】また、本発明における光ピックアップは、更に、図 1 3 から 1 6 に示す構成のものであってもよい。図 1 3 から 1 6 に示す光ピックアップは、図 1 の光ピックアップ 1 0 においてホログラム 2 が光学手段 1 と分離し、コリメータレンズ 3 が追加になった構成である。この場合においても光学手段 1 中の半導体レーザ 1 a、1 b とホログラム 2 との距離、半導体レーザ 1 a と半導体レーザ 1 b との距離、半導体レーザ 1 b と光検出器 1 c との距離、ホログラム 2 のピッチは図 4 に示したものと同じである。また、ホログラム 2 は、図 1 3 に示すようにコリメータレンズ 3 の手前にあってもよく、図 1 4 に示すようにコリメータレンズ 3 の直後にあってもよい。また、更に、ホログラム 2 はコリメータレンズ 3 と

10

20

30

30

40

40

50

一体になっていてもよく、この場合も図 1 5、1 6 に示すようにコリメータレンズ 3 の手前側、後側の表面にホログラム 2 が設けられていてもよい。図 1 7 を参照して、基板厚が 0.6 mm の DVD と基板厚が 1.2 mm の CD、CD-R を互換再生する再生装置について説明する。光ピックアップ 1 0 中の対物レンズ 5 はサーボ機構 1 3 により再生しようとしている信号がピット列として形成されているトラックにレーザビームを集光するように制御されており、レーザビームは前記対物レンズ 5 により集光され、光ディスクの基板 7 (又は 7 7) を通って信号記録面 7 a (又は 7 7 a) に照射される。該信号記録面 7 a (又は 7 7 a) で反射されたレーザビームは光検出器 1 c で検知され、再生信号として検出される。前記光検出器 1 c で検出された再生信号はプリアンプ 1 1 へ送られ、所定の増幅が行われた後、判別回路 1 4 と RF 復調回路 1 6 及びサーボ回路 1 2 に送られる。サーボ回路 1 2 は送られてきたトラッキングエラー信号に基づき前記サーボ機構 1 3 を制御する。また、判別回路 1 4 は、送られてきた信号に基づいて再生装置に装着された光ディスクの種類を識別し、識別結果を指令回路 1 5 に送る。該指令回路 1 5 は、識別した光ディスクに適合するように前記光学手段 1 中の半導体レーザを切り替えるために、送られてきた識別結果に基づいて制御回路 1 9 に指令を出す。また、前記指令回路 1 5 は、識別した光ディスクの再生に適合する復調回路に切り替えるために、送られてきた識別結果に基づいて特性切替回路 1 7 にも指令を出す。前記制御回路 1 9 は、前記指令回路 1 5 からの指令に基づいてレーザ駆動回路 1 8 を介して半導体レーザを切り替え、前記特性切替回路 1 7 は、前記指令回路 1 5 からの指令に基づいて、RF 復調回路 1 6 を切り替える。これにより、再生装置に装着された光ディスクに適した再生が行われる。

## 第2の実施の形態

上記第1の実施の形態においては、波長 635 nm のレーザビームと波長 780 nm のレーザビームを選択的に生成する光学手段 1 を用いて基板厚 0.6 mm の光ディスクである DVD と基板厚 1.2 mm の光ディスクである CD、CD-R を互換再生できる光ピックアップ装置について説明したが、本第2の実施の形態は、波長 480 (許容範囲: 350~550) nm のレーザビームと波長 635 (許容範囲: 620~660) nm のレーザビームとを選択的に生成する光学手段を用いて DVD と高密度 DVD を互換再生する光ピックアップ装置について示すものである。

【0031】図 1 9 を参照して、本発明が対象とする DVD と高密度 DVD の定格値と再生条件を説明する。DVD の基板厚は 0.6 (許容誤差 ±0.05) mm、最短ピット長が 0.40 (許容誤差 ±0.1)  $\mu\text{m}$ 、トラックピッチが 0.74 (許容誤差 ±0.01)  $\mu\text{m}$ 、波長 635 nm のレーザビームに対する反射率が 40 % 以上 (単

一の信号記録面の場合) 若しくは 1.5~4.0% (信号記録面が 2 つの場合) であり、再生時のレーザビームのスポット径が 0.9 (許容誤差 ±0.5)  $\mu\text{m}$ 、対物レンズの開口数が 0.6 (許容誤差 ±0.05) 、再生レーザビーム波長が 635 (許容誤差 ±1.5) nm である。一方、高密度 DVD の基板厚は 0.3 (許容誤差 ±0.05) mm、最短ピット長が 0.30 (許容誤差 ±0.1)  $\mu\text{m}$ 、トラックピッチが 0.56 (許容誤差 ±0.01)  $\mu\text{m}$ 、波長 480 nm のレーザビームに対する反射率が 40% 以上 (单一の信号記録面の場合) 若しくは 1.5~4.0% (信号記録面が 2 つの場合) であり、再生時のレーザビームのスポット径が 0.7 (許容誤差 ±0.5)  $\mu\text{m}$ 、対物レンズの開口数が 0.65 (許容誤差 ±0.05) 、再生レーザビーム波長が 480 (許容範囲: 350~550) nm である。

【0032】DVD と高密度 DVD との互換再生を行う光ピックアップ 201 の構成を図 20 に示す。光学手段 202 中の半導体レーザ 1e、1b から発せられた波長 480 (許容範囲: 350~550) nm 若しくは波長 635 (許容誤差 ±1.5) nm のレーザビームは光学手段 202 の表面に設けられたホログラム 1g で選択的に回折され、開口数変更手段 203 で選択的に遮光されて対物レンズ 204 に入射する。該対物レンズ 204 で集光されたレーザビームは、透光性のポリカーボネートの基板 205 (または 206) を通って光ディスクの信号記録面 205a (または 206a) に照射される。該信号記録面 205a (または 206a) で反射されたレーザビームは前記基板 205 (または 206) 、前記対物レンズ 204 、前記開口数変更手段 203 を介して戻り、前記ホログラム 1g を介して前記光学手段 202 中に設置された光検出器 1c で検知される。前記対物レンズ 204 は基板厚 0.3 mm の光ディスク用に設計されており、開口数は 0.65 (許容誤差 ±0.05) である。

【0033】本発明においては、前記光学手段 202 は波長 635 nm のレーザビームを発する半導体レーザ 1b 、波長 480 nm のレーザビームを発する半導体レーザ 1e 、光検出器 1c 及び波長 480 nm のレーザビームは回折せず、波長 635 nm のレーザビームのみを回折するホログラム 1g を配しており、DVD が再生される場合には前記半導体レーザ 1b が選択駆動され、高密度 DVD が再生される場合には前記半導体レーザ 1e が選択駆動される。即ち、光学手段 202 は波長 480 nm のレーザビームと波長 635 nm のレーザビームとを選択駆動し、波長 635 nm のレーザビームのみを回折して前記対物レンズ 204 に入射させるとともに、波長 480 nm のレーザビーム、および波長 635 nm のレーザビームの光ディスクの信号記録面での反射光を前記光検出器 1c に集光する機能を有するものである。

【0034】また、前記開口数変更手段 203 は外周部

203a と内周部 203b とに分割されており、内周部 203b は波長 480 nm のレーザビーム、および波長 635 nm のレーザビームをそのまま透過するが、外周部 203a は波長 635 nm のレーザビームのみを遮光する機能を有するものである。内周部 203b の直径は波長 635 nm のレーザビームの前記対物レンズ 204 での実効的開口数が 0.60 (許容誤差 ±0.05) となる直径である。また、前記開口数変更手段 203 と前記対物レンズ 204 とはアクチュエータ 6 に固定されているため、開口数変更手段 203 はフォーカス引き込み時、トラッキングサーボ時に前記対物レンズ 204 に連動して移動する。この結果、開口数変更手段 203 と対物レンズ 204 との位置ずれはなく、波長 635 nm のレーザビームの外周部を確実に遮光できる。

【0035】また、前記光学手段 202 中には、前記半導体レーザ 1b 、1e と前記光検出器 1c とが設けられているが、これらの位置関係の決定方法は、上記第 1 の実施の形態中の図 2、3 において説明した方法と同じ方法である。波長 480 nm のレーザビームを発する半導体レーザ 1e と光検出器 1c との距離を  $Z_1$  、波長 635 nm のレーザビームを発する半導体レーザ 1b と光検出器 1c との距離を  $Z_2$  として  $Z_1 > Z_2$  となるように半導体レーザ 1e 、1b 、光検出器 1c を設置する。ホログラム 1g の凹凸構造のピッチ  $p$  と、半導体レーザ 1e 、1b 、光検出器 1c とホログラム 1g との距離、即ち、レーザビームの発光点とホログラムとの距離  $L$  とをパラメータとして  $Z_1$  、  $Z_2$  、  $Z_1 - Z_2$  を計算した結果を図 21 に示す。ホログラムのピッチ  $p$  が 3~12  $\mu\text{m}$  の範囲、レーザビームの発光点とホログラム間の距離  $L$  が 3~15 mm の範囲で  $Z_1 - Z_2$  が 0.1~0.5 mm の範囲となる。また、前記半導体レーザ 1e と前記光検出器 1c との距離は 0.289~1.45 mm の範囲となる。従って、本発明においては、半導体レーザ 1e と半導体レーザ 1b との距離を 0.1~0.5 mm の範囲に設定して設置し、波長 480 nm のレーザビームと波長 635 nm のレーザビームの光ディスクの信号記録面からの反射光を前記光検出器 1c の同一位置で検出する。この場合、半導体レーザ 1e を中心にして半導体レーザ 1b が光ディスクの外周方向に位置するように、光検出器 1c が光ディスクの内周方向に位置するように配置されている。

【0036】また、半導体レーザ 1b と半導体レーザ 1e とは 0.1~0.5 mm の範囲で設置位置が異なるが、この範囲のずれは光ディスクに照射されるレーザビームの光軸のずれによる再生特性の劣化として現れることはない。また、更に、前記半導体レーザ 1b と前記半導体レーザ 1e との設置位置の方向は光ディスクの径方向に限らず、周方向であってもよい。

【0037】また、更に、前記半導体レーザ 1b 、1e と前記光検出器 1c のマウントについては上記第 1 の実

施の形態中の図 5 に示すマウントと同じである。また、更に、前記開口数変更手段 203 の具体例としては、上記第 1 の実施の形態中の図 6、7、8 に示す具体例が本第 2 の実施の形態の前記開口数変更手段 203 にも使用できる。

【0038】基板厚 0.6 mm の DVD と基板厚 0.3 mm の高密度 DVD との再生動作は上記第 1 の実施の形態中の図 9、10 で説明した動作と同様である。また、本第 2 の実施の形態における光ピックアップ装置は、前記光ピックアップ 201 の構成に限らず、図 22 に示すものであってもよい。即ち、図 20 に示す構成では半導体レーザ 1b、1e、光検出器 1c 及びホログラム 1g は 1 つの光学手段 202 中に配置されていたが、これに限らず、図 22 に示すようにホログラム 207 が光学手段 202 と分離した構成の光ピックアップ 221 であってもよい。この場合、光学手段 202 中の半導体レーザ 1b、1e とホログラム 207 との距離、半導体レーザ 1b と半導体レーザ 1e との距離、半導体レーザ 1e と光検出器 1c との距離、ホログラム 207 のピッチは図 21 に示したものと同じである。また、光学手段 202 とホログラム 207 以外の構成要素は図 20 と同じであるので、その機能の説明についても省略する。

【0039】また、本第 2 の実施の形態における光ピックアップは、更に、図 23 に示す構成のものであってもよい。図 23 に示す光ピックアップ 231 は図 20 に示す光ピックアップ 201 の前記光学手段 202 と前記開口数変更手段 203 との間にコリメータレンズ 208 を挿入した構成である。光学手段 202 中の半導体レーザ 1b、1e とホログラム 1g との距離、半導体レーザ 1b と半導体レーザ 1e との距離、半導体レーザ 1e と光検出器 1c との距離、ホログラム 1g のピッチは図 21 に示したものと同じである。それ以外は光ピックアップ 201 と同じであるので、その他の説明については省略する。

【0040】また、本発明における光ピックアップは、更に、図 24 から 27 に示す構成のものであってもよい。図 24 から 27 に示す光ピックアップは、図 20 の光ピックアップ 201 においてホログラム 207 が光学手段 202 と分離し、コリメータレンズ 208 が追加になった構成である。この場合においても光学手段 202 中の半導体レーザ 1b、1e とホログラム 207 との距離、半導体レーザ 1b と半導体レーザ 1e との距離、半導体レーザ 1e と光検出器 1c との距離、ホログラム 207 のピッチは図 21 に示したものと同じである。また、ホログラム 207 は、図 24 に示すようにコリメータレンズ 208 の手前にあってもよく、図 25 に示すようにコリメータレンズ 208 の直後にあってもよい。また、更に、ホログラム 207 はコリメータレンズ 208 と一緒にになっていてもよく、この場合も図 26、27 に示すようにコリメータレンズ 208 の手前側、後側の表

面にホログラム 207 が設けられていてもよい。

【0041】基板厚が 0.6 mm の DVD と基板厚が 0.3 mm の高密度 DVD を互換再生する再生装置は、上記第 1 の実施の形態中の図 17 に示した装置と同じ再生装置を使用できる。

### 第 3 の実施の形態

本第 3 の実施の形態においては、基板厚 1.2 (許容誤差 ±0.1) mm の光ディスクである CD、CD-R と基板厚 0.3 (許容誤差 ±0.05) mm の光ディスクである高密度 DVD との互換再生について説明する。

【0042】図 28 に本第 3 の実施の形態における光ピックアップ装置が互換再生の対象とする CD、CD-R 及び高密度 DVD の定格値と再生条件を示す。CD の基板厚は 1.2 (許容誤差 ±0.1) mm、最短ピット長が 0.83 (許容範囲: 0.80 ~ 0.90) μm、トラックピッチが 1.6 (許容誤差 ±0.1) μm であり、反射率は波長 780 nm のレーザビームに対して 70% 以上である。また、再生時のレーザビームのスポット径は 1.5 (許容誤差 ±0.1) μm、対物レンズの開口数は 0.45 (許容誤差 ±0.05)、再生レーザビーム波長が 780 (許容範囲: 760 ~ 800) nm である。CD-R の基板厚は 1.2 (許容誤差 ±0.1) mm、最短ピット長が 0.83 (許容範囲: 0.80 ~ 0.90) μm、トラックピッチが 1.6 (許容誤差 ±0.1) μm、波長 780 nm のレーザビームに対する反射率が 60% ~ 70% 以上であり、再生時のレーザビームのスポット径が 1.5 (許容誤差 ±0.1) μm、対物レンズの開口数が 0.45 (許容誤差 ±0.05)、再生レーザビーム波長が 780 (許容範囲: 760 ~ 800) nm である。

一方、高密度 DVD の基板厚は 0.3 (許容誤差 ±0.05) mm、最短ピット長が 0.30 (許容誤差 ±0.1) μm、トラックピッチが 0.56 (許容誤差 ±0.01) μm、波長 480 nm のレーザビームに対する反射率が 40% 以上 (单一の信号記録面の場合) 若しくは 1.5 ~ 4.0% (信号記録面が 2 つの場合) であり、再生時のレーザビームのスポット径が 0.9 (許容誤差 ±0.5) μm、対物レンズの開口数が 0.6 (許容誤差 ±0.05)、再生レーザビーム波長が 480 (許容範囲: 350 ~ 550) nm である。

【0043】CD、CD-R と高密度 DVD との互換再生を行う光ピックアップ 291 の構成を図 29 に示す。光学手段 292 中の半導体レーザ 1e、1a から発せられた波長 480 (許容範囲: 350 ~ 550) nm 若しくは波長 635 (許容範囲: 620 ~ 660) nm のレーザビームは光学手段 292 の表面に設けられたホログラム 1h で選択的に回折され、開口数変更手段 293 で選択的に遮光されて対物レンズ 294 に入射する。該対物レンズ 294 で集光されたレーザビームは、透光性のポリカーボネートの基板 295 (または 296) を通つて光ディスクの信号記録面 295a (または 296a)

に照射される。該信号記録面 295a (または 296a) で反射されたレーザビームは前記基板 295 (または 296)、前記対物レンズ 294、前記開口数変更手段 293 を介して戻り、前記ホログラム 1h を介して前記光学手段 292 中に設置された光検出器 1c で検知される。前記対物レンズ 294 は基板厚 0.6 mm の光ディスク用に設計されており、開口数は 0.60 (許容誤差 ±0.05) である。

【0044】本発明においては、前記光学手段 292 は波長 780 nm のレーザビームを発する半導体レーザ 1a、波長 480 nm のレーザビームを発する半導体レーザ 1e、光検出器 1c 及び波長 480 nm のレーザビームは回折せず、波長 780 nm のレーザビームのみを回折するホログラム 1h を配しており、CD、CD-R が再生される場合には前記半導体レーザ 1a が選択駆動され、高密度 DVD が再生される場合には前記半導体レーザ 1e が選択駆動される。即ち、光学手段 292 は波長 480 nm のレーザビームと波長 780 nm のレーザビームとを選択駆動し、波長 780 nm のレーザビームのみを回折して前記対物レンズ 294 に入射させるとともに、波長 480 nm のレーザビーム、および波長 780 nm のレーザビームの光ディスクの信号記録面での反射光を前記光検出器 1c に集光する機能を有するものである。

【0045】また、前記開口数変更手段 293 は外周部 293a と内周部 293b とに分割されており、内周部 293b は波長 480 nm のレーザビーム、および波長 780 nm のレーザビームをそのまま透過するが、外周部 293a は波長 780 nm のレーザビームのみを遮光する機能を有するものである。内周部 293b の直径は波長 780 nm のレーザビームの前記対物レンズ 294 での実効的開口数が 0.45 (許容誤差 ±0.05) となる直径である。また、前記開口数変更手段 293 と前記対物レンズ 294 とはアクチュエータ 6 に固定されているため、開口数変更手段 293 はフォーカス引き込み時、トラッキングサーボ時に前記対物レンズ 294 に連動して移動する。この結果、開口数変更手段 293 と対物レンズ 294 との位置ずれではなく、波長 780 nm のレーザビームの外周部を確実に遮光できる。

【0046】また、前記光学手段 292 中には、前記半導体レーザ 1a、1e と前記光検出器 1c とが設けられているが、これらの位置関係の決定方法は、上記第 1 の実施の形態中の図 2、3 において説明した方法と同じ方法である。波長 480 nm のレーザビームを発する半導体レーザ 1e と光検出器 1c との距離を  $Z_1$ 、波長 780 nm のレーザビームを発する半導体レーザ 1a と光検出器 1c との距離を  $Z_2$  (して  $Z_1 > Z_2$ ) となるように半導体レーザ 1e、1a、光検出器 1c を設置する。ホログラム 1h の凹凸構造のピッチ  $p$  と、半導体レーザ 1e、1a、光検出器 1c とホログラム 1h との距離、即ち、

レーザビームの発光点とホログラムとの距離  $L$  とをパラメータとして  $Z_1, Z_2, Z_1 - Z_2$  を計算した結果を図 30 に示す。ホログラムのピッチ  $p$  が 5 ~ 12  $\mu\text{m}$  の範囲、レーザビームの発光点とホログラム間の距離  $L$  が 2 ~ 15 mm の範囲で  $Z_1 - Z_2$  が 0.1 ~ 0.5 mm の範囲となる。また、前記半導体レーザ 1e と前記光検出器 1c との距離は 0.193 ~ 0.772 mm の範囲となる。従って、本発明においては、半導体レーザ 1e と半導体レーザ 1a との距離を 0.1 ~ 0.5 mm の範囲に設定して設置し、波長 480 nm のレーザビームと波長 780 nm のレーザビームの光ディスクの信号記録面からの反射光を前記光検出器 1c の同一位置で検出する。この場合、半導体レーザ 1e を中心にして半導体レーザ 1a が光ディスクの外周方向に位置するように、光検出器 1c が光ディスクの内周方向に位置するように配置されている。

【0047】また、半導体レーザ 1a と半導体レーザ 1e とは 0.1 ~ 0.5 mm の範囲で設置位置が異なるが、この範囲のずれは光ディスクに照射されるレーザビームの光軸のずれによる再生特性の劣化として現れることはない。また、更に、前記半導体レーザ 1a と前記半導体レーザ 1e との設置位置の方向は光ディスクの径方向に限らず、周方向であってもよい。

【0048】また、更に、前記半導体レーザ 1a、1e と前記光検出器 1c のマウントについては上記第 1 の実施の形態中の図 5 に示すマウントと同じである。また、更に、前記開口数変更手段 293 の具体例としては、上記第 1 の実施の形態中の図 6、7、8 に示す具体例が本第 3 の実施の形態の前記開口数変更手段 293 にも使用できる。

【0049】基板厚 1.2 mm の CD、CD-R と基板厚 0.3 mm の高密度 DVD との再生動作は上記第 1 の実施の形態中の図 9、10 で説明した動作と同様である。また、本第 3 の実施の形態における光ピックアップ装置は、前記光ピックアップ 291 の構成に限らず、図 31 に示すものであってもよい。即ち、図 29 に示す構成では半導体レーザ 1a、1e、光検出器 1c 及びホログラム 1h は 1 つの光学手段 292 中に配置されていたが、これに限らず、図 31 に示すようにホログラム 297 が光学手段 292 と分離した構成の光ピックアップ 311 であってもよい。この場合、光学手段 292 中の半導体レーザ 1a、1e とホログラム 297 との距離、半導体レーザ 1a と半導体レーザ 1e との距離、半導体レーザ 1e と光検出器 1c との距離、ホログラム 297 のピッチは図 30 に示したものと同じである。また、光学手段 292 とホログラム 297 以外の構成要素は図 29 と同じであるので、その機能の説明についても省略する。

【0050】また、本第 3 の実施の形態における光ピックアップは、更に、図 32 に示す構成のものであっても

よい。図32に示す光ピックアップ321は図29に示す光ピックアップ291の前記光学手段292と前記開口数変更手段293との間にコリメータレンズ298を挿入した構成である。光学手段292中の半導体レーザ1a、1eとホログラム1hとの距離、半導体レーザ1aと半導体レーザ1eとの距離、半導体レーザ1eと光検出器1cとの距離、ホログラム1hのピッチは図30に示したものと同じである。それ以外は光ピックアップ291と同じであるので、その他の説明については省略する。

【0051】また、本発明における光ピックアップは、更に、図33から36に示す構成のものであってよい。図33から36に示す光ピックアップは、図29の光ピックアップ291においてホログラム297が光学手段292と分離し、コリメータレンズ298が追加になった構成である。この場合においても光学手段292中の半導体レーザ1a、1eとホログラム297との距離、半導体レーザ1aと半導体レーザ1eとの距離、半導体レーザ1eと光検出器1cとの距離、ホログラム297のピッチは図30に示したものと同じである。また、ホログラム297は、図33に示すようにコリメータレンズ298の手前にあってもよく、図34に示すようにコリメータレンズ298の直後にあってもよい。また、更に、ホログラム297はコリメータレンズ298と一緒にになっていてもよく、この場合も図35、36に示すようにコリメータレンズ298の手前側、後側の表面にホログラム297が設けられていてもよい。

【0052】基板厚が1.2mmのCD、CD-Rと基板厚が0.3mmの高密度DVDとを互換再生する再生装置は、上記第1の実施の形態中の図17に示した装置と同じ再生装置を使用できる。上記第1から第3の実施の形態においては光ディスクからの再生について説明したが、これに限るものではなく、上記説明した各光ピックアップ装置を用いて光ディスクへの記録を行うことができる。

【0053】また、更に、上記第1から第3の実施の形態においては、光学手段から生成されるレーザビームの波長は635nmと780nm、480nmと635nm、および480nmと780nmとの組み合わせについて説明したが、これに限るものではなく、他の波長のレーザビームの組み合わせであってもよいことは言うまでもない。

【0054】

【発明の効果】本発明によれば、光源に波長が635nmと波長が780nmの異なる2つの半導体レーザを使用するので、基板厚0.6mmの光ディスクであるDVDと基板厚が1.2mmの光ディスクであるCD-Rとの互換再生をすることができる。

【0055】また、本発明によれば、光源に波長が480nmと波長が635nmの異なる2つの半導体レーザ

を使用するので、基板厚0.3mmの光ディスクである高密度DVDと基板厚が0.6mmの光ディスクであるDVDとの互換再生をすることができる。また、本発明によれば、光源に波長が480nmと波長が780nmの異なる2つの半導体レーザを使用するので、基板厚0.3mmの光ディスクである高密度DVDと基板厚が1.2mmの光ディスクであるCD、CD-Rとの互換再生をすることができる。

【0056】また、本発明によれば、レーザビーム生成手段、光検出手段、ホログラムを一体化した光学手段を用いるので、光ピックアップを構成するのにハーフミラー、立ち上げミラーを用いる必要が無く、コンパクトな光ピックアップを作製できるとともに低コストにも繋がる。また、本発明によれば、従来の光学系とほぼ同様の構成で、CD-Rも再生可能な光ピックアップを実現できる。

【0057】また、本発明によれば、波長635nmのレーザビームに対して光軸調整をすれば波長780nmのレーザビームに対してても光軸調整ができる。また、本発明によれば、波長480nmのレーザビームに対して光軸調整をすれば波長635nmのレーザビームに対してても光軸調整ができる。また、本発明によれば、波長480nmのレーザビームに対して光軸調整をすれば波長780nmのレーザビームに対してても光軸調整ができる。

【図面の簡単な説明】

【図1】第1の実施の形態における光ピックアップの構成を示す図である。

【図2】第1の実施の形態から第3の実施の形態における半導体レーザ、ホログラム、光検出器相互間の距離の計算方法を説明する図である。

【図3】第1の実施の形態から第3の実施の形態における2つの半導体レーザ、ホログラム、光検出器相互間の距離の計算方法を説明する図である。

【図4】第1の実施の形態における2つの半導体レーザ、ホログラム、光検出器相互間の距離の計算結果を示す図表である。

【図5】第1の実施の形態から第3の実施の形態における半導体レーザ、光検出器のマウントを説明する図である。

【図6】第1の実施の形態から第3の実施の形態における開口数変更手段の具体例を示す図である。

【図7】第1の実施の形態から第3の実施の形態における開口数変更手段の他の具体例を示す図である。

【図8】第1の実施の形態から第3の実施の形態における開口数変更手段の他の具体例を示す図である。

【図9】第1の実施の形態における基板厚0.6mmの光ディスクの再生動作を説明する図である。

【図10】第1の実施の形態における基板厚1.2mmの光ディスクの再生動作を説明する図である。

【図 1 1】第 1 の実施の形態における光ピックアップの他の構成を示す図である。

【図 1 2】第 1 の実施の形態における光ピックアップの更に、他の構成を示す図である。

【図 1 3】第 1 の実施の形態における光ピックアップの更に、他の構成を示す図である。

【図 1 4】第 1 の実施の形態における光ピックアップの更に、他の構成を示す図である。

【図 1 5】第 1 の実施の形態における光ピックアップの更に、他の構成を示す図である。

【図 1 6】第 1 の実施の形態における光ピックアップの更に、他の構成を示す図である。

【図 1 7】第 1 の実施の形態から第 3 の実施の形態における再生装置を説明する図である。

【図 1 8】C D、C D-R、およびD V Dの定格値と再生条件を示す図表である。

【図 1 9】D V Dと高密度D V Dの定格値と再生条件を示す図表である。

【図 2 0】第 2 の実施の形態における光ピックアップの構成を示す図である。

【図 2 1】第 2 の実施の形態における 2 つの半導体レーザ、ホログラム、光検出器相互間の距離の計算結果を示す図表である。

【図 2 2】第 2 の実施の形態における光ピックアップの他の構成を示す図である。

【図 2 3】第 2 の実施の形態における光ピックアップの更に、他の構成を示す図である。

【図 2 4】第 2 の実施の形態における光ピックアップの更に、他の構成を示す図である。

【図 2 5】第 2 の実施の形態における光ピックアップの更に、他の構成を示す図である。

【図 2 6】第 2 の実施の形態における光ピックアップの更に、他の構成を示す図である。

【図 2 7】第 2 の実施の形態における光ピックアップの更に、他の構成を示す図である。

【図 2 8】C D、C D-R、および高密度D V Dの定格値と再生条件を示す図表である。

【図 2 9】第 3 の実施の形態における光ピックアップの

構成を示す図である。

【図 3 0】第 3 の実施の形態における 2 つの半導体レーザ、ホログラム、光検出器相互間の距離の計算結果を示す図表である。

【図 3 1】第 3 の実施の形態における光ピックアップの他の構成を示す図である。

【図 3 2】第 3 の実施の形態における光ピックアップの更に、他の構成を示す図である。

【図 3 3】第 3 の実施の形態における光ピックアップの更に、他の構成を示す図である。

【図 3 4】第 3 の実施の形態における光ピックアップの更に、他の構成を示す図である。

【図 3 5】第 3 の実施の形態における光ピックアップの更に、他の構成を示す図である。

【図 3 6】第 3 の実施の形態における光ピックアップの更に、他の構成を示す図である。

【符号の説明】

1 . . . 光学手段

1 a、1 b、1 e . . . 半導体レーザ

20 1 c . . . 光検出器

1 d、1 g、1 h、2、207、297 . . . ホログラム

3、208、298 . . . コリメータレンズ

4 . . . 開口数変更手段

5 . . . 対物レンズ

6 . . . アクチュエータ

7、77 . . . 基板

7 a、77 a . . . 信号記録面

10 . . . 光ピックアップ

11 . . . ブリアンプ

12 . . . サーボ回路

13 . . . サーボ機構

14 . . . 判別回路

15 . . . 指令回路

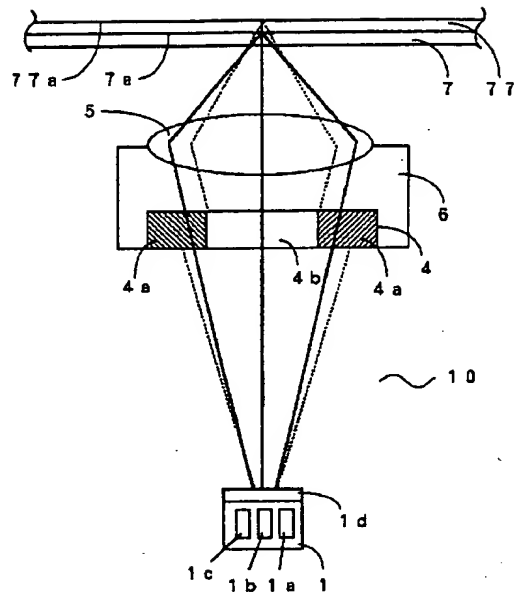
16 . . . R F 復調回路

17 . . . 特性切替回路

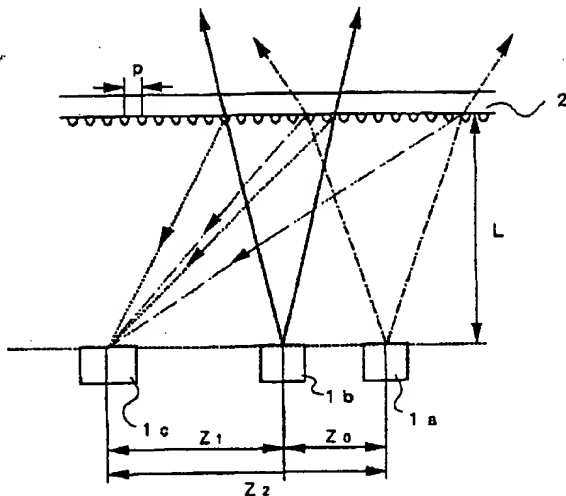
18 . . . レーザ駆動回路

19 . . . 制御回路

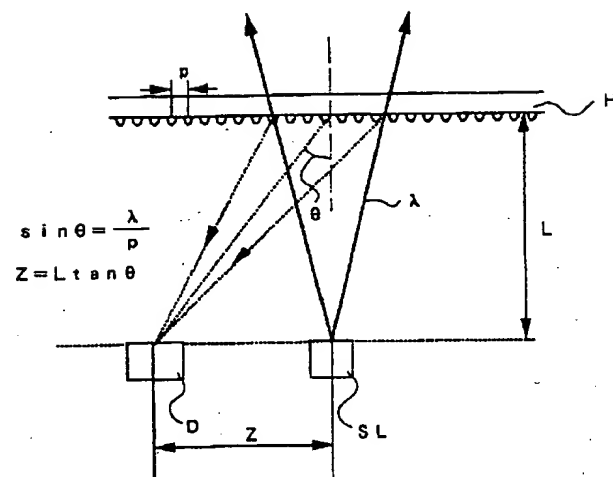
【図 1】



【図 2】



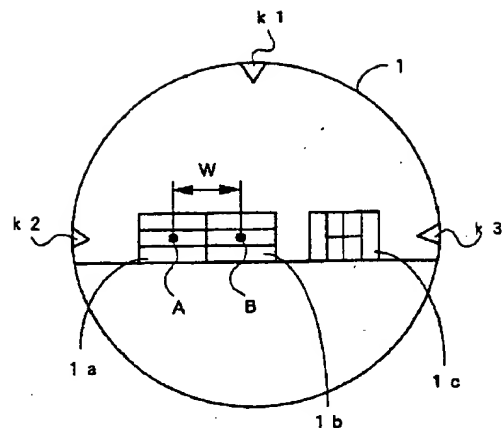
【図 3】



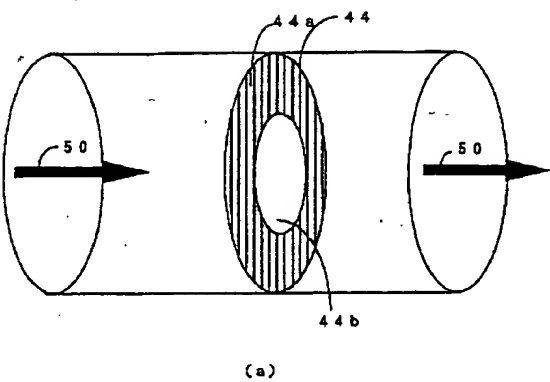
【図 4】

| ホログラムの<br>ピッチ: p (μm) | 測定点とホログラム間<br>の距離: L (mm) | 633 nm のビームの聚焦点と<br>被測定点との距離: Z1 (mm) | 780 nm のビームの聚焦点と<br>被測定点との距離: Z2 (mm) | Z2 - Z1<br>(mm) |
|-----------------------|---------------------------|---------------------------------------|---------------------------------------|-----------------|
| 1.5                   | 3                         | 1.4018                                | 1.8263                                | 0.4245          |
| 2                     | 3                         | 1.0044                                | 1.2708                                | 0.2662          |
| 3                     | 5                         | 1.0828                                | 1.3483                                | 0.2635          |
| 3                     | 4.5                       | 0.9745                                | 1.2116                                | 0.2371          |
| 3                     | 4                         | 0.8663                                | 1.0770                                | 0.2107          |
| 5                     | 5                         | 0.8402                                | 0.7667                                | 0.1490          |
| 4.5                   | 15                        | 2.1381                                | 2.6399                                | 0.5019          |
| 5                     | 15                        | 1.8205                                | 2.3680                                | 0.4484          |
| 8                     | 15                        | 1.1944                                | 1.4665                                | 0.2750          |
| 10                    | 10                        | 0.6360                                | 0.7823                                | 0.1464          |
| 10                    | 15                        | 0.9644                                | 1.1735                                | 0.2192          |
| 10                    | 8                         | 0.6090                                | 0.6259                                | 0.1169          |
| 8                     | 10                        | 0.7963                                | 0.9797                                | 0.1834          |
| 5                     | 10                        | 1.2804                                | 1.5783                                | 0.2989          |
| 9                     | 10                        | 2.1657                                | 2.6926                                | 0.5268          |
| 8                     | 25                        | 1.9906                                | 2.4492                                | 0.4586          |
| 10                    | 25                        | 1.5907                                | 1.9580                                | 0.3653          |
| 15                    | 25                        | 1.0593                                | 1.3018                                | 0.2425          |
| 20                    | 25                        | 0.7942                                | 0.9757                                | 0.1815          |
| 25                    | 25                        | 0.6362                                | 0.7804                                | 0.1452          |
| 30                    | 25                        | 0.5293                                | 0.6502                                | 0.1209          |
| 35                    | 25                        | 0.4536                                | 0.5572                                | 0.1037          |

【図 5】

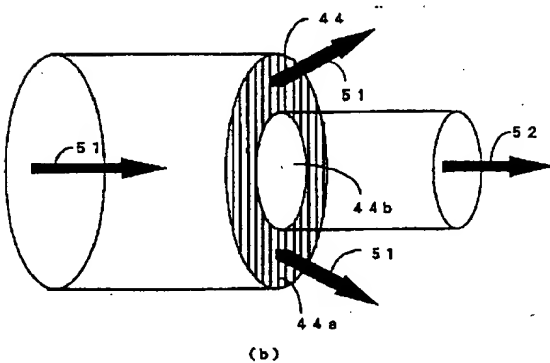
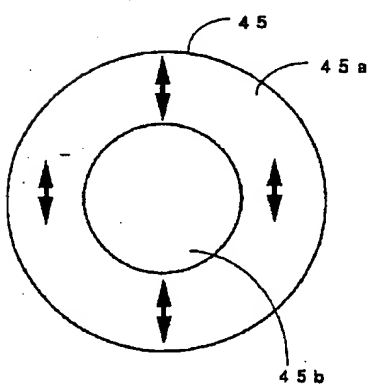


【図 6】



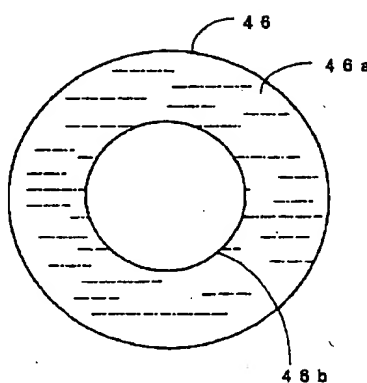
(a)

【図 7】

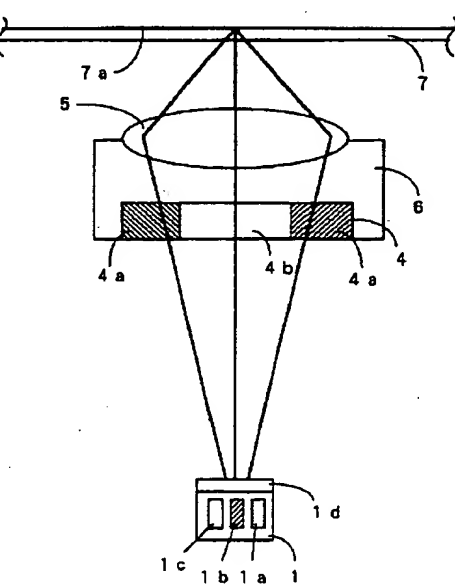


(b)

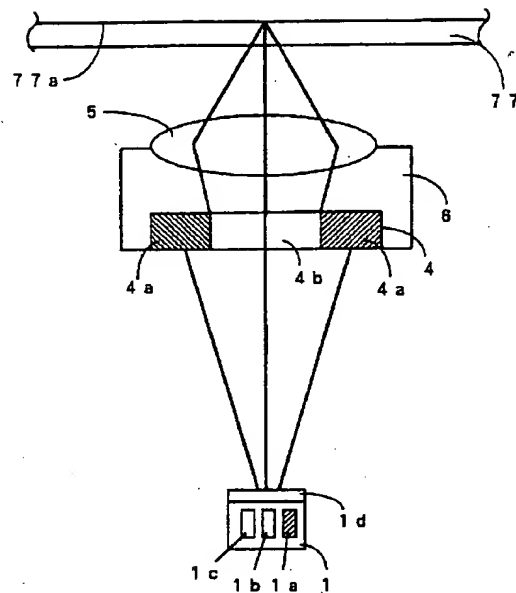
【図 8】



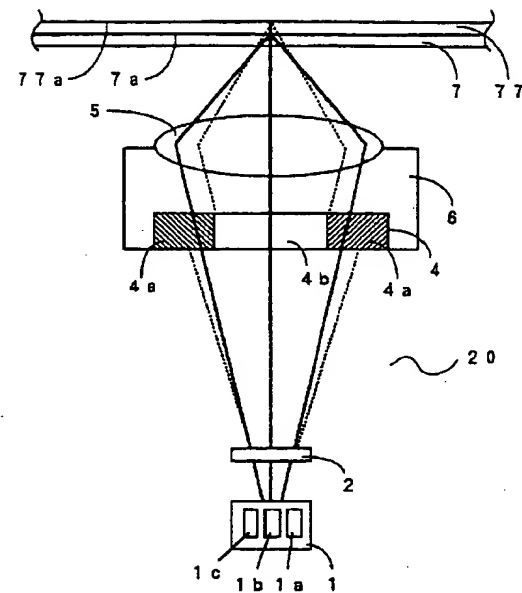
【図 9】



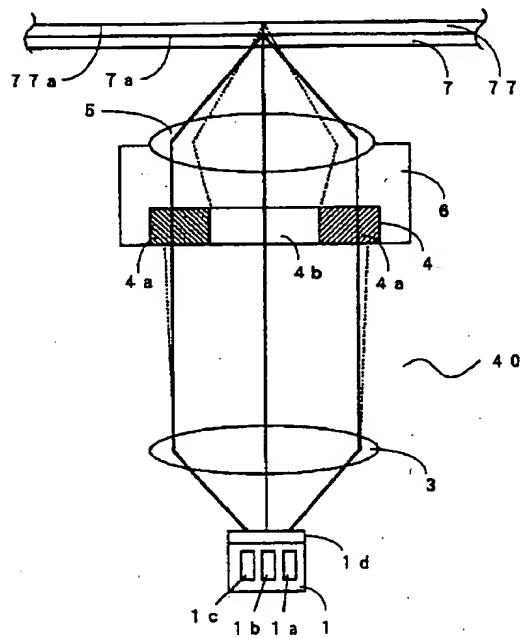
【図 10】



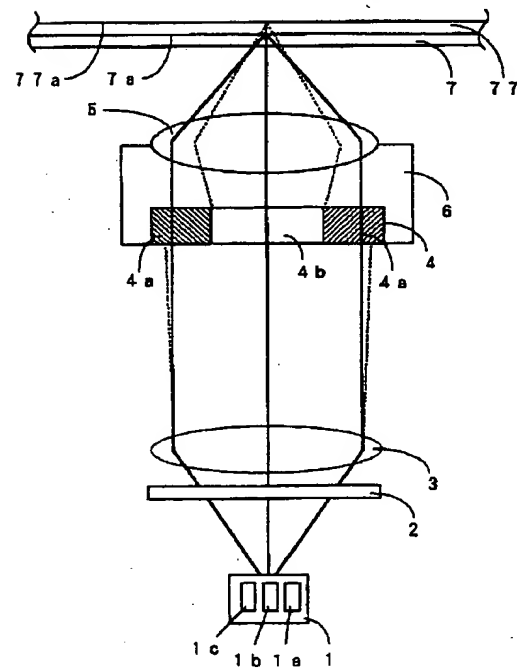
【図 11】



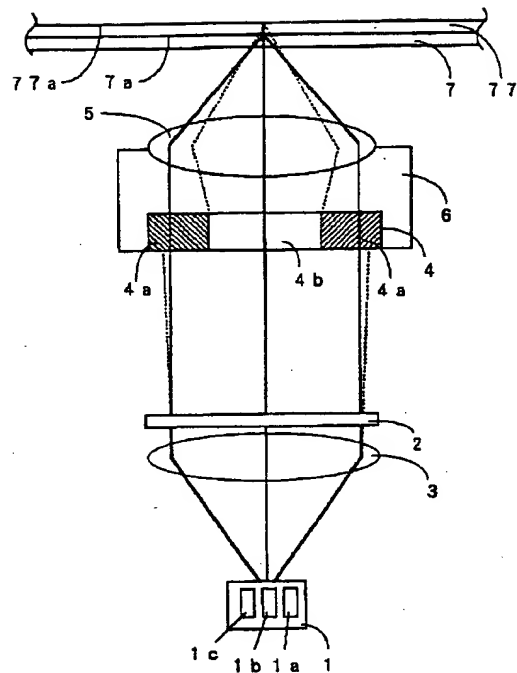
【図 12】



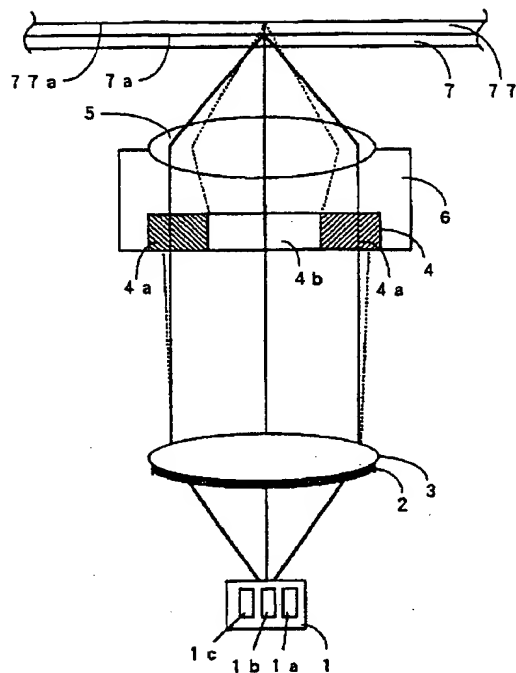
【図 13】



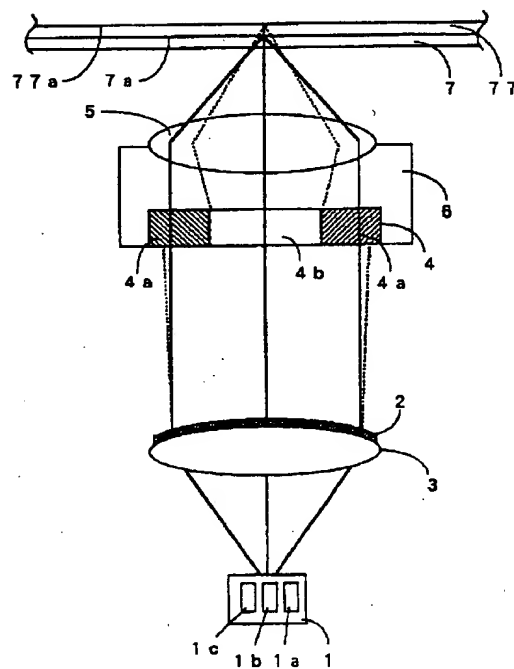
【図 14】



【図 15】



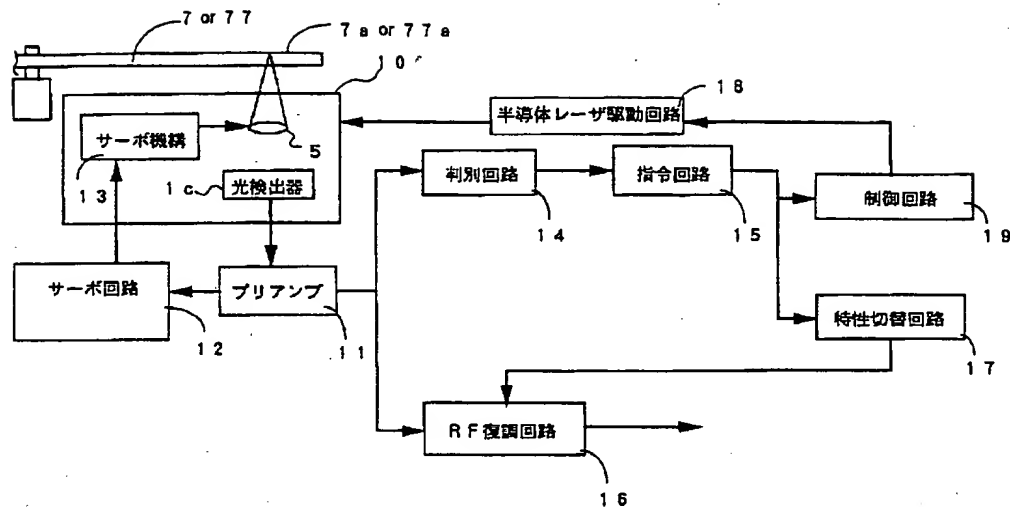
【図 16】



【図 19】

| 種類   |          | DVD                     |        | 高密度 DVD                 |        |
|------|----------|-------------------------|--------|-------------------------|--------|
| 定格値  | 読み取面側基板厚 | 0.6mm<br>(0.55~0.65mm)  |        | 0.3mm<br>(0.25~0.35mm)  |        |
|      | 最短ピット長   | 0.40μm<br>(0.3~0.5μm)   |        | 0.30μm<br>(0.2~0.4μm)   |        |
|      | トラックピッチ  | 0.74μm<br>(0.73~0.75μm) |        | 0.56μm<br>(0.55~0.57μm) |        |
| 再生条件 | 反射率      | 40%以上                   | 15~40% | 40%以上                   | 15~40% |
|      | スポット径    | 0.9μm<br>(0.85~0.95μm)  |        | 0.7μm<br>(0.65~0.75μm)  |        |
|      | 開口数      | 0.60<br>(0.55~0.65)     |        | 0.65<br>(0.60~0.70)     |        |
| 波長   | 635      | 635<br>(620~660)        |        | 480<br>(350~550)        |        |

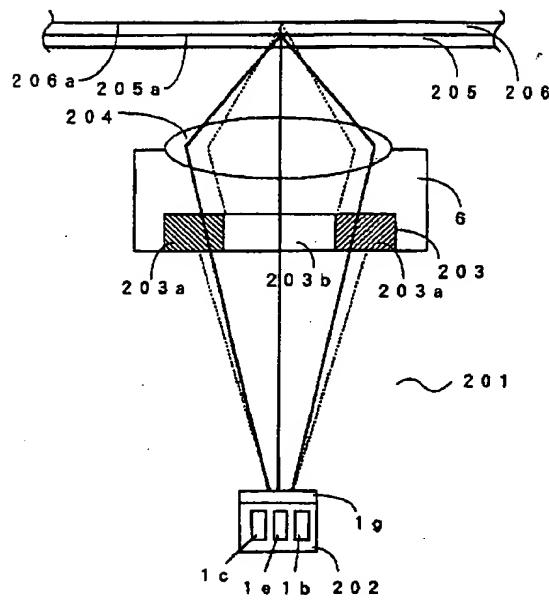
【図 17】



【図 18】

| 種類   |           | CD                       | CD-R                     | DVD                       |
|------|-----------|--------------------------|--------------------------|---------------------------|
| 定格値  | 読み取り面側基板厚 | 1.2 mm<br>(1.1~1.3 mm)   | 1.2 mm<br>(1.1~1.3 mm)   | 0.6 mm<br>(0.55~0.65 mm)  |
|      | 最低ビット長    | 0.83 μm<br>(0.80~0.9 μm) | 0.83 μm<br>(0.80~0.9 μm) | 0.40 μm<br>(0.3~0.5 μm)   |
|      | トラックピッチ   | 1.6 μm<br>(1.5~1.7 μm)   | 1.6 μm<br>(1.5~1.7 μm)   | 0.74 μm<br>(0.73~0.75 μm) |
|      | 反射率       | 60~70%以上                 | 60~70%以上                 | 40%以上 15~40%              |
| 再生条件 | スポット径     | 1.5 μm<br>(1.4~1.6 μm)   | 1.5 μm<br>(1.4~1.6 μm)   | 0.9 μm<br>(0.85~0.95 μm)  |
|      | 開口数       | 0.45<br>(0.40~0.50)      | 0.45<br>(0.40~0.50)      | 0.60<br>(0.55~0.65)       |
|      | 波長        | 780<br>(760~800)         | 780<br>(760~800)         | 635<br>(620~660)          |

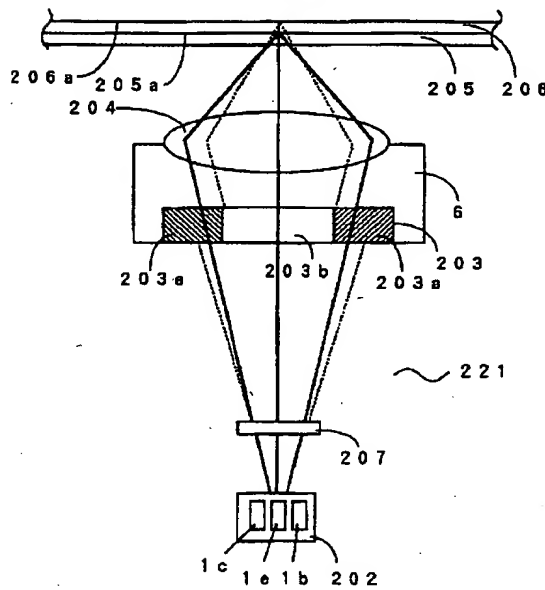
【図20】



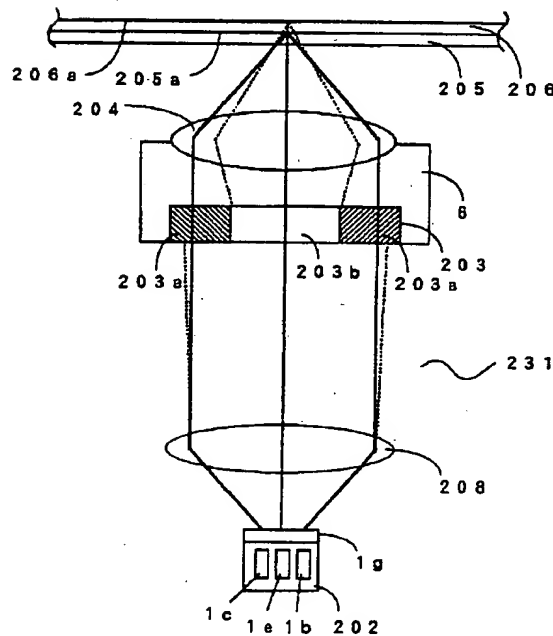
【図21】

| ビームの△L (mm) | 測定点と承口との間の距離 : L (mm) | 400 nm のビームの測定点と承口との距離 : Z <sub>1</sub> (mm) | 635 nm のビームの測定点と承口との距離 : Z <sub>2</sub> (mm) | Z <sub>2</sub> - Z <sub>1</sub> (mm) |
|-------------|-----------------------|--|--|--------------------------------------|
| 12          | 1.0                   | 0.4009                                       | 0.6299                                       | 0.130                                |
| 12          | 1.5                   | 0.8005                                       | 0.7949                                       | 0.1944                               |
| 12          | 8                     | 0.9203                                       | 0.4239                                       | 0.104                                |
| 10          | 1.5                   | 0.7208                                       | 0.9544                                       | 0.2340                               |
| 10          | 1.0                   | 0.4805                                       | 0.6363                                       | 0.1558                               |
| 10          | 8                     | 0.3844                                       | 0.5090                                       | 0.1246                               |
| 10          | 7                     | 0.3364                                       | 0.4454                                       | 0.1090                               |
| 8           | 1.5                   | 0.8016                                       | 1.1944                                       | 0.2930                               |
| 8           | 1.0                   | 0.6011                                       | 0.7863                                       | 0.1852                               |
| 8           | 8                     | 0.4808                                       | 0.6370                                       | 0.1562                               |
| 8           | 6                     | 0.3606                                       | 0.4778                                       | 0.1172                               |
| 5           | 1.5                   | 1.4467                                       | 1.9206                                       | 0.4740                               |
| 5           | 1.0                   | 0.9845                                       | 1.2804                                       | 0.3159                               |
| 5           | 5                     | 0.4822                                       | 0.6402                                       | 0.1580                               |
| 5           | 3                     | 0.2893                                       | 0.3841                                       | 0.0948                               |
| 3           | 8                     | 1.2967                                       | 1.7326                                       | 0.4359                               |
| 3           | 5                     | 0.8104                                       | 1.0829                                       | 0.2724                               |
| 3           | 3                     | 0.4863                                       | 0.6497                                       | 0.1634                               |

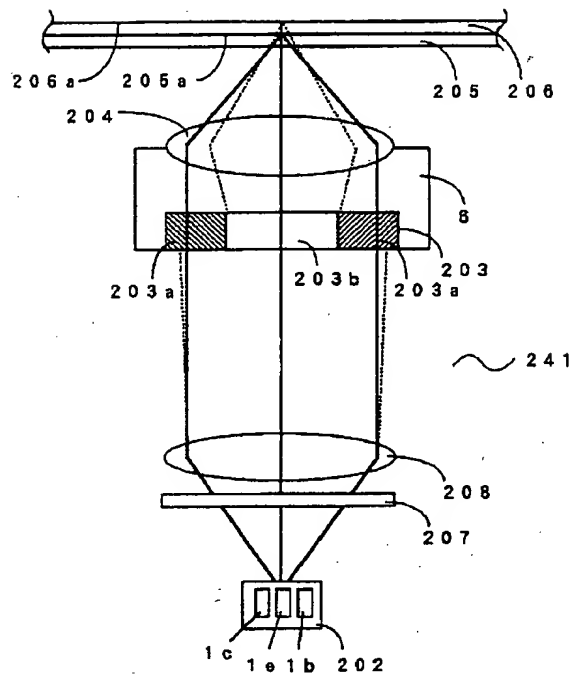
【図22】



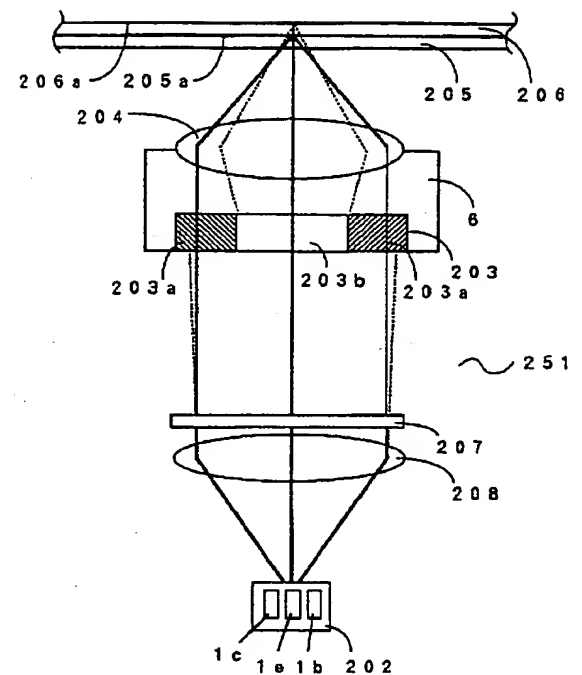
【図23】



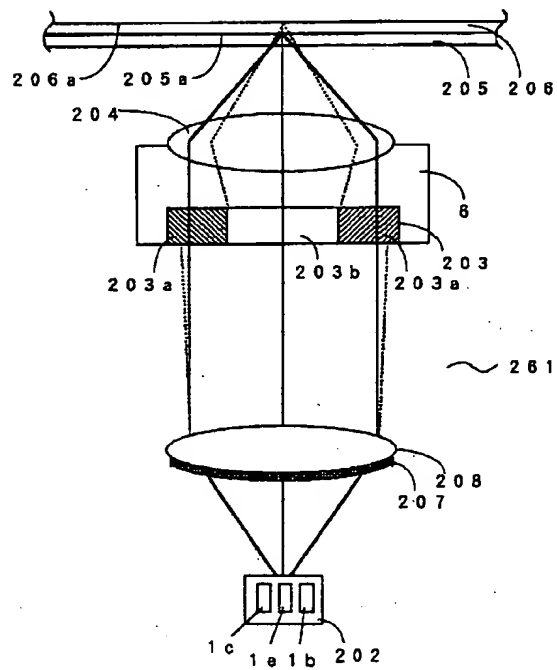
【図24】



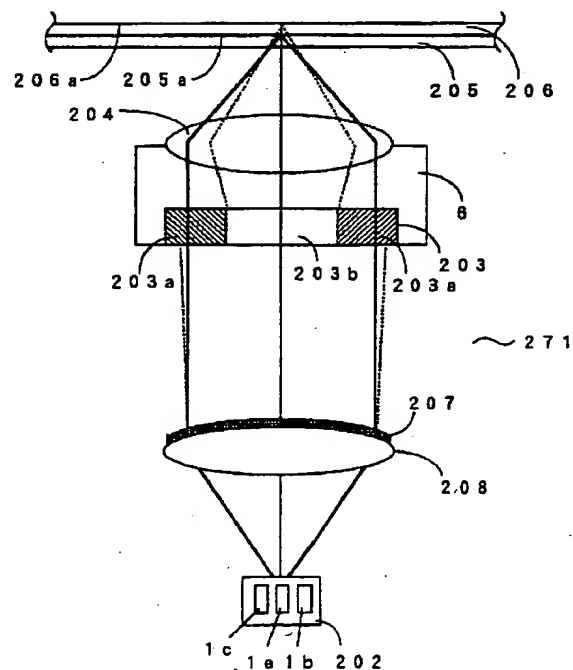
【図25】



【図26】



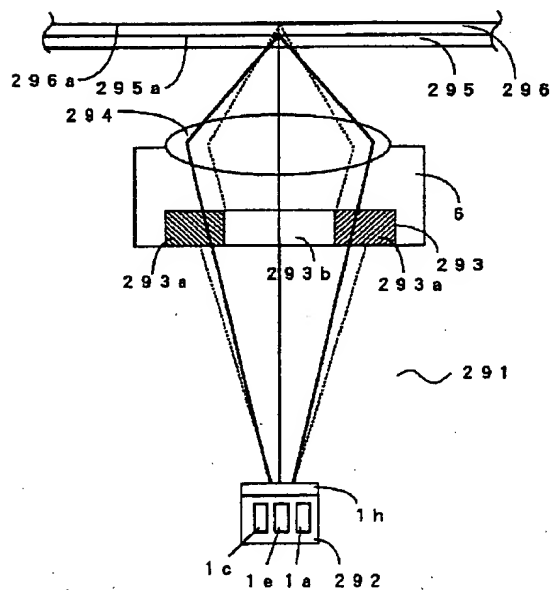
【図27】



【図28】

| 規格   |           | CD                       | CD-R                     | 高密度DVD                    |        |
|------|-----------|--------------------------|--------------------------|---------------------------|--------|
| 定格値  | 読み取り面側基板厚 | 1.2 mm<br>(1.1~1.3 mm)   | 1.2 mm<br>(1.1~1.3 mm)   | 0.3 mm<br>(0.25~0.35 mm)  |        |
|      | 最短ピット長    | 0.83 μm<br>(0.80~0.9 μm) | 0.83 μm<br>(0.80~0.9 μm) | 0.30 μm<br>(0.20~0.40 μm) |        |
|      | トラックピッチ   | 1.6 μm<br>(1.5~1.7 μm)   | 1.6 μm<br>(1.5~1.7 μm)   | 0.56 μm<br>(0.55~0.57 μm) |        |
|      | 反射率       | 70%以上                    | 60~70%                   | 40%以上                     | 15~40% |
| 再生条件 | スポット径     | 1.5 μm<br>(1.4~1.6 μm)   | 1.5 μm<br>(1.4~1.6 μm)   | 0.70 μm<br>(0.65~0.75 μm) |        |
|      | 開口数       | 0.45<br>(0.40~0.50)      | 0.45<br>(0.40~0.50)      | 0.60<br>(0.55~0.65)       |        |
|      | 波長        | 780 nm<br>(760~800 nm)   | 780 nm<br>(760~800 nm)   | 480 nm<br>(350~550 nm)    |        |

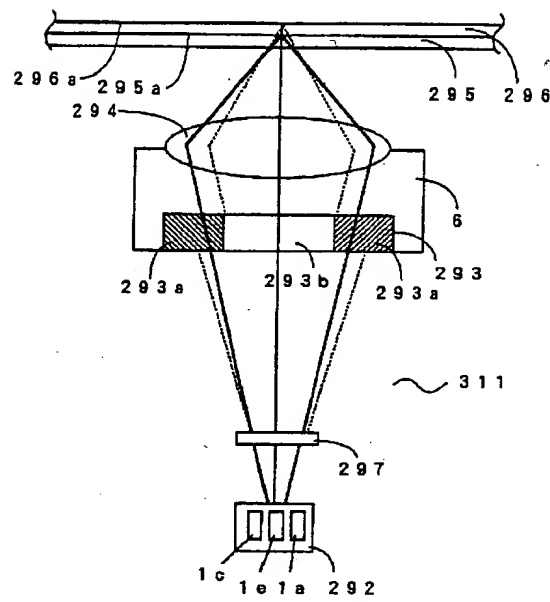
【図29】



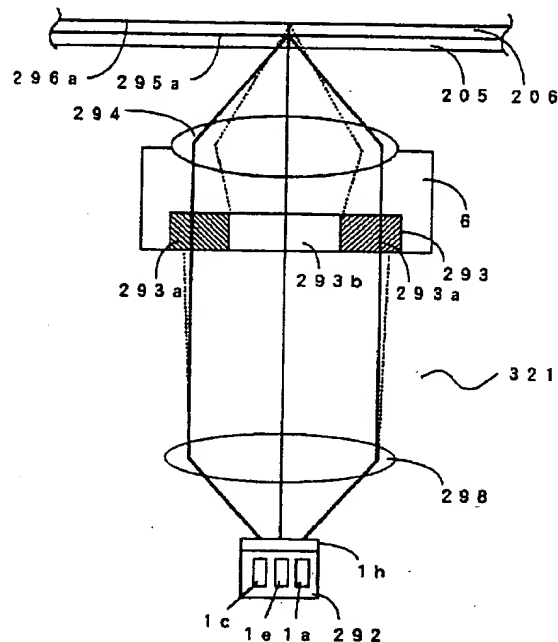
【図30】

| ホログラムの<br>ピット: p (μm) | 焦点とホログラム<br>の距離: L (mm) | 480 nmビームの焦点と<br>検出点との距離: Z <sub>1</sub> (mm) | 780 nmビームの焦点と<br>検出点との距離: Z <sub>2</sub> (mm) | Z <sub>2</sub> -Z <sub>1</sub><br>(mm) |
|-----------------------|-------------------------|---|---|--|
| 1.2                   | 1.0                     | 0.4003  | 0.6514  | 0.251                                  |
| 1.2                   | 1.5                     | 0.6005  | 0.9771  | 0.3766                                 |
| 1.2                   | 5                       | 0.2002  | 0.3257  | 0.1255                                 |
| 1.0                   | 1.5                     | 0.7208  | 1.1748  | 0.4528                                 |
| 1.0                   | 1.0                     | 0.4805  | 0.7824  | 0.3019                                 |
| 1.0                   | 5                       | 0.3844  | 0.6258  | 0.2415                                 |
| 1.0                   | 5                       | 0.2403  | 0.3812  | 0.1509                                 |
| 0.8                   | 1.0                     | 0.8011  | 0.9797  | 0.1786                                 |
| 0.8                   | 5                       | 0.3005  | 0.4868  | 0.1863                                 |
| 0.5                   | 5                       | 0.7718  | 1.2835  | 0.4918                                 |
| 0.5                   | 5                       | 0.4822  | 0.7897  | 0.3075                                 |
| 0.5                   | 3                       | 0.2683  | 0.4738  | 0.1645                                 |
| 0.5                   | 2                       | 0.1929  | 0.3159  | 0.1230                                 |

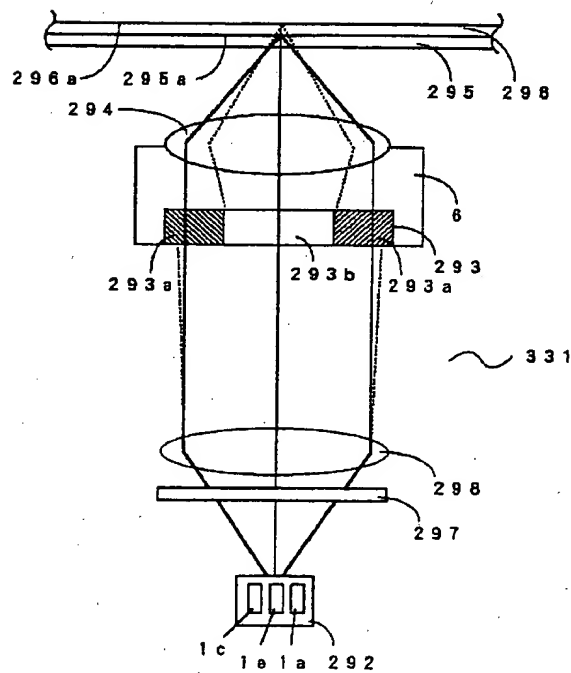
【図 3 1】



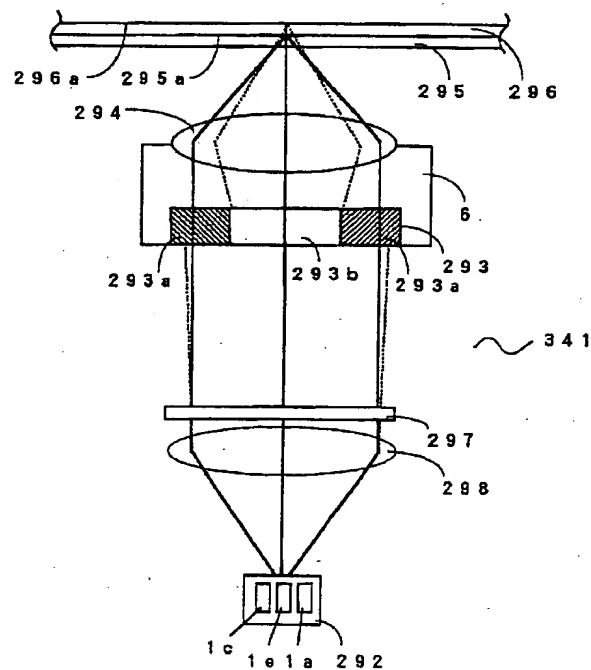
【図 3 2】



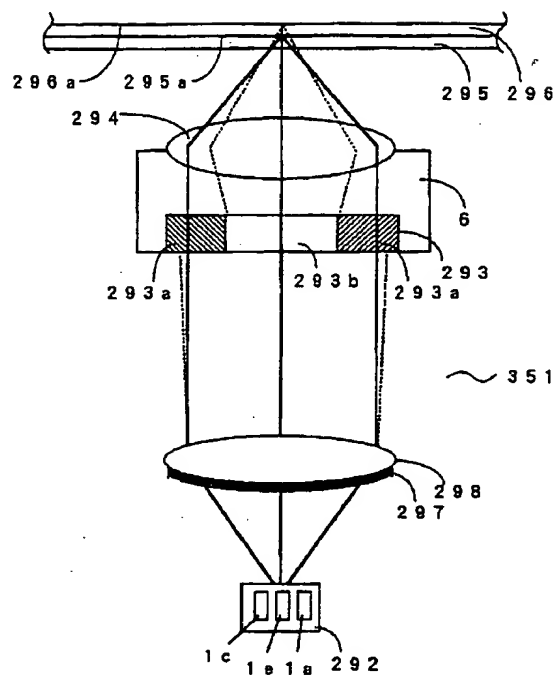
【図 3 3】



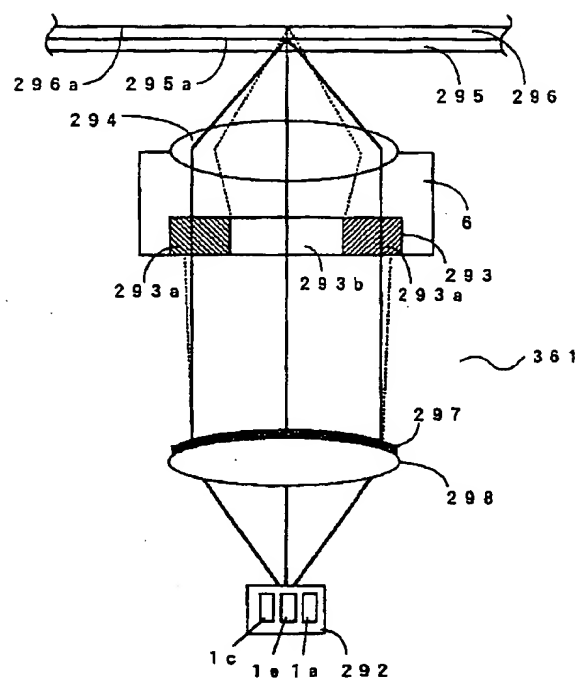
【図 3 4】



【図 3 5】



【図 3 6】



フロントページの続き

(72)発明者 土屋 洋一  
大阪府守口市京阪本通2丁目5番5号 三  
洋電機株式会社内

(72)発明者 市浦 秀一  
大阪府守口市京阪本通2丁目5番5号 三  
洋電機株式会社内